

واکاوی الگوی انباشت سرمایی مناطق سردسیر ایران

براساس مدل‌های CH، Utah، CP

دکتر غلامعباس فلاچ قاله‌ری^{۱*}، دکتر حمزه احمدی^۲

چکیده

انباشت سرمایی در دوره رکود برای درختان میوه خزان‌دار، از اهمیت بسیار بالایی برخوردار می‌باشد. تأمین نشدن نیاز سرمایی باعث کاهش عملکرد و هدر رفت منابع می‌شود. در همین راستا به منظور واکاوی الگوی انباشت سرمایی در مناطق سردسیر ایران، از داده سه ساعتۀ دمای هوا برای ۲۸ استنگاه هواشناسی همدید در مناطق سردسیر و گوهستانی کشور، از سال ۱۹۸۵ تا ۲۰۱۳ استفاده شد. آمار سینوپتیکی سه ساعتۀ دمای هوا برای دوره رکود از ماه نوامبر تا مارس تنظیم و با تبدیل به دمای ساعتی به صورت پایگاه داده‌ای از دمای ساعتی برابر با ۳۲۵۲۸۰۰ رکورد ساعتی برای هر مدل، پالایش و محاسبه شد. از مدل‌های ساعت سرمایی (CH) و واحدهای سرمایی (Utah) و دینامیکی (CP) برای برآورد انباشت سرمایی استفاده شد. الگوی انباشت سرمایی براساس برونداد مدل CH از ۷۷۵ تا ۱۴۴۵ ساعت و براساس مدل Utah از ۱۱۹۱ تا ۲۱۲۱ واحد سرمایی و براساس مدل CP از ۶۳ تا ۹۶ بخش سرمایی در بین استنگاه‌های مناطق سردسیر متغیر است. در هر کدام از مدل‌ها، عامل ارتفاع در الگوی انباشت سرمایی نقش مهمی دارد. فراوانی بیشینه‌های انباشت سرمایی در دهه‌های گذشته، بیشتر از دهه‌های اخیر است. بررسی سری زمانی انباشت سرمایی نشان داد که در استنگاه‌های اصفهان و شهرکرد، روند تغییرات کاهشی در سطح $+0.5^{\circ}\text{C}$ معنی دار و شبکه منفی خط روند در بیشتر استنگاه‌ها وجود دارد. براساس معیارهای اعتبارسنجی، برونداد مدل دینامیکی به دلیل RMSE کوچکتر نسبت به دیگر مدل‌ها، از عملکرد بالاتری در برآورد انباشت سرمایی برخوردار است. نتایج این تحقیق برای آگاهی بخشی درباره کاشت درختان خزان‌دار مناسب با توان اقلیمی و میزان انباشت سرمایی حائز اهمیت است.

کلیدواژه‌ها: انباشت سرمایی، ساعت سرمایی، دمای ساعتی، مدل دینامیکی، واحدهای سرمایی.

گیاهان معتدله محسوب می‌شود. معمولاً رود به این مرحله به تدریج و بسته به طبیعت گیاه صورت می‌گیرد؛ ولی خروج از آن مستلزم تأمین سرمای مورد نیاز گیاه است (هوشیار و همکاران، ۱۳۹۵: ۴۳۱). بدون شک چیرگی بر رکود، یکی از مهم‌ترین ارکان بحرانی در پرورش درختان میوه معتدله در اقلیم‌هایی است که فاقد سرمای موردنیاز برای چیرگی بر رکود طبیعی‌اند (راحمی، ۱۳۸۹: ۲۸۱). حداکثر سرماده‌ی در درختان میوه در درجه حرارت ۰ تا ۷ درجه سانتی‌گراد رخ می‌دهد. انباشت سرمایی در دماهای پایین‌تر از صفر یا بالاتر از ۱۰ درجه سانتی‌گراد به ندرت شکل می‌گیرد (Hennessy & Greene, 1995: 327).

به‌منظور انتخاب واریته‌های مناسب درختان میوه برای هر آب و هوایی در هر منطقه مشخص، محققان مدل‌های سرمایی را ارائه کرده‌اند که این مدل‌ها، دماهای ثبت‌شده را به صورت کمیتی از سرما تبدیل می‌کنند. متخصصان علوم باغبانی چندین مدل مختلف برای تعیین انباشت سرمایی گیاهان توسعه داده‌اند. در میان آن‌ها، سه مدل سرمایی در سراسر جهان بیشتر از بقیه مدل‌ها استفاده می‌شود: (مدل CH¹ ساعات سرمایی، Weinberger, 1950)، (مدل یوتا^۲، Richardson et al, 1974) و (مدل دینامیکی، Fishman et al, 1987) مدل دینامیکی تقریباً به عنوان یکی از قوی‌ترین مدل‌ها گسترش پیدا کرده است و اغلب به عنوان یک مدل برجسته، به‌دلیل ساختار تئوریک مستحکم و توانایی آن برای تشریح دیدبانی‌های فنولوژیک بررسی شده است (Cesaraccio et al, 2004: 1; Guo et al, 2014: 1195). اهمیت انباشت سرمایی برای رفع نیاز سرمایی در درختان میوه خزان‌دار موجب شده تا این مسئله از نیم قرن گذشته، کانون توجه محققان بین‌المللی و داخلی قرار بگیرید.

مقدمه

اقلیم، نقشی اساسی در تولید موفق محصولات باگی و خشکبار در تجارت جهانی ایفا می‌کند. فعالیت‌های باغبانی به‌شدت وابسته به شرایط آب و هوایی محل است (سیزی‌پروری و ولاشده، ۱۳۹۴: ۳۵۱). کشت موفق محصولات باگی به شرایط اقلیمی مناسب وابسته است (Kaufmann & Blanke, 2016: 1). در درختان میوه مناطق سردسیری آگاهی از شرایط اقلیمی و انباشت سرمایی، می‌تواند راهگشای میوه‌کاران مناطق معتدله، درجهت بهره‌وری بالاتر باشد. یکی از جنبه‌های بسیار مهم اثرات تغییر اقلیم بر باغهای میوه، کاهش در انباشت سرمایی از طریق زمستان‌های ملایم است (Aburquerque et al, 2008: 162 ; Santos et al, 2016: 1 ; Zhuang et al, 2016: 68) سرمای زمستانی کافی منجر به گل‌دهی همگن و متقارن می‌شود. در هر منطقه‌ای لازم است با توجه به شرایط محیطی، به این مهم پرداخته شود (Zhang & Taylor, 2011: 420). دماهای پایین مورد نیاز درختان خزان‌کننده، معمولاً به صورت دماهای پایین‌تر از ۷/۲ درجه سانتی‌گراد یا ۴۵ درجه فارنهایت معرفی می‌شوند (Aron, 1983: 351). درختان مناطق معتدله در عرض‌هایی بین ۳۰ تا ۵۰ درجه در نیمکره جنوبی و شمالی، به انباشت سرمایی نیاز دارند (Costa & Ramina, 2014: 71). نیاز سرمایی فقط یک مکانیزمی که به صورت ناگهانی به‌وسیله گیاهان کسب می‌شود، نیست؛ بلکه فرایندی فرازینده در طول پاییز و زمستان است تا گیاه به صورت کامل در رکود و خواب قرار بگیرد؛ بنابراین رکود در منطقه معتدله برای درختان میوه خزان‌کننده یک فاز از نمو محسوب می‌شود که اجازه می‌دهد تا درختان در شرایط نامساعد زمستان زنده بمانند (حاجی‌لو و توبچی تبریزیان، ۱۳۹۵: ۱۹؛ Ruiz et al, 2007: 255). رکود جزو یکی از مراحل مهم در سیکل زندگی

1-Chilling hours
2-Utah

جنوب شرقی اسپانیا براساس مدل‌های ساعت سرمایی (CH)، یوتا (Utah) و دینامیکی (CP) مشخص کردند که نتایج مدل دینامیکی و یوتا نسبت به مدل ساعت سرمایی از عملکرد بهتری برخوردار است (Aburquerque et al, 2008: 162).

لودلینگ^۷ و همکاران (۲۰۰۹) مدل‌های مختلف برآورد انباشت سرمایی در کالیفرنیا را بررسی کردند. آن‌ها برونداد مدل‌های یوتا، ساعت سرمایی و دینامیکی را واسنجی کرده و مدل یوتا و دینامیکی را مدل‌های با عملکرد بهتری معرفی کردند (Luedeling et al, 2009:1854).

زنگ و تیلور^۸ (۲۰۱۱) مدل دینامیکی را به عنوان بهترین برآورد کننده فرایند انباشت سرمایی بر روی پسته در استرالیا بررسی کردند. نتایج آن‌ها نشان داد که مدل دینامیکی، بهترین تعیین کننده انباشت سرمایی برای پسته است (Zhang & Taylor, 2011:421).

داربیشر و همکاران (۲۰۱۱) برای بررسی روند انباشت سرمایی برای درختان خزان کننده در استرالیا، از مدل‌های ساعت سرمایی، یوتای مثبت و دینامیکی استفاده کردند. آن‌ها مشخص کردند که مدل ساعت سرمایی از تغییرات بالاتری برخودار است (Darbyshire et al, 2011:1074).

(۲۰۱۱) با تحلیل مدل‌های انباشت سرمایی برای درختان میوه، مشخص کردند که مدل یوتا در مناطق جنوب حاره از عملکرد خوبی برخوردار نیست (Luedeling & Brown, 2011:411).

لودلینگ^۹ و همکاران (۲۰۱۱) واسنجی مدل‌های مختلف انباشت سرمایی را ارزیابی کردند. آن‌ها مدل یوتای مثبت و دینامیکی را مدل‌های با عملکرد بالا معرفی کردند (Luedeling et al, 2009:1854).

«واینبرگر»^۱ (۱۹۵۰) با بررسی انباشت سرمایی براساس مدل‌های ساعت سرمایی و دینامیکی، مدل دینامیکی را یکی از بهترین مدل‌های برآورد انباشت سرمایی معرفی کردند (Weinberger, 1950: 122).

«آرون»^۲ (۱۹۸۳) وضعیت دماهای سرد در کالیفرنیا را بررسی کردند و با استفاده از مدل ساعت سرمایی، وضعیت انباشت سرمایی برای درختان دانه‌دار را در سطح منطقه کالیفرنیا پنهان‌بندی کردند (Aron, 1983:351).

اندرسون^۳ و همکاران (۱۹۸۶) با بررسی نیاز سرمایی و واسنجی مدل‌های برآورد کننده انباشت سرمایی مشخص نمودند که تعیین انباشت سرمایی در پیش‌بینی تاریخ گل‌دهی نقش مؤثری دارد (Anderson et al, 1986: 171). آن^۴ (۲۰۰۴) براساس آمار دمای ساعتی و مدل‌های ساعت سرمایی و یوتا، انباشت سرمایی در مناطقی که زمستان‌های معتدلی دارند مشخص کردند (Allan, 2004:74). سورینو^۵ و همکاران (۲۰۰۷) به تعیین انباشت سرمایی زمستانه با استفاده از مدل‌های ساعت سرمایی، یوتا، دینامیکی و کارولینیای شمالی پرداختند و در این رهیافت مدل‌های یوتا و دینامیکی را مدل‌های با عملکرد بالاتر معرفی نمودند (Severino et al, 2007:113).

«بالدوکی و وون»^۶ (۲۰۰۸) کاهش انباشت سرمایی مناطق کشت میوه در کالیفرنیا را بررسی کردند. آن‌ها با بررسی انباشت سرمایی در دوره پایه و آینده تحت شرایط تغییر اقلیم، مشخص کردند که تا آخر قرن ۲۱ انباشت سرمایی خیلی از میوه‌ها در کالیفرنیا تأمین خواهد شد (Bal docchi & Wong, 2008: 153).

آلبرکاکی و همکاران (۲۰۰۸) نیاز سرمایی واریته‌های گیلاس شیرین را بررسی کردند. آن‌ها با بررسی نیاز سرمایی هفت واریته گیلاس شیرین در

۱-Weinberger

۲-Aron

۳-Anderson

۴-Allan

۵-Severino

۶-Baldocchi & Wong

رضایی (۱۳۹۱) انباشت سرمایی منطقه شاهروд را براساس مدل‌های ساعت سرمایی، یوتا و دینامیکی برای ارقام تجاری زردالو بررسی کرد (رضایی، ۱۳۹۱: ۲۱). رضوی و همکاران (۱۳۹۱) برای بررسی نیاز سرمایی چند رقم هلو از مدل‌های یوتا، کارولینای شمالی، واحدهای سرمایی متغیر و ساعت سرمایی استفاده کردند (رضوی و همکاران، ۱۳۹۱: ۱۷). ولاشی (۱۳۹۴) به ارزیابی اثر گرمایش جهانی بر نیاز سرمایی زمستانه گیاهان خزان‌دار در گستره ایران پرداختند. در مناطق سرد کوهستانی با افزایش دما نیاز سرمایی کاهش پیدا خواهد کرد و با روند افزایشی دما در آینده، محدوده تأمین کننده سبب محدود به ارتفاعات بالا خواهد شد (ولادی، ۱۳۹۴: ۱). سبزی‌پرور و ولاشی (۱۳۹۴) اثر تغییر اقلیم بر نیاز سرمایی گیاهان خزان‌دار را بررسی کردند. آن‌ها با بررسی مدل‌های مختلف اقلیمی تحت گزارش چهارم تغییر اقلیم و سناریوهای مختلف، مشخص کردند که در منطقه همدان میزان نیاز سرمایی کاهش می‌یابد (سبزی‌پرور و ولاشی، ۱۳۹۴: ۳۵۸).

ولادی و سبزی‌پرور (۱۳۹۵) با ارزیابی الگوهای برآورد نیاز سرمایی زمستانه و با استفاده از داده‌های مشاهده‌ای پدیده شناختی درخت سبب در ارومیه، مشخص کردند که براساس نتایج اعتبارسنجی مدل دینامیکی از عملکرد بالاتری برای برآورد انباشت سرمایی برخوردار است (ولادی و سبزی‌پرور، ۱۳۹۵: ۵۶۱).

هوشیار و همکاران (۱۳۹۵) نیاز سرمایی استان خراسان را برای درختان زرداً لود بررسی کردند. آن‌ها از مدل‌های ساعت سرمایی و یوتا در این برآورد انباشت سرمایی استفاده کردند (هوشیار و همکاران، ۱۳۹۵: ۴۳۱).

بغبانی و تولیدات میوه یکی از مهم‌ترین بخش‌های ارزآور برای کشور محسوب می‌شود. بخش عمده‌ای از صادرات کشور را محصولات باغی خزان‌دار

الومی^۱ و همکاران (۲۰۱۳)، اثرات انباشت سرمایی سرمایی را بر روی عملکرد درختان پسته در مناطق گرم و خشک بررسی کردند. آن‌ها سه مدل ساعت سرمایی (CH)، واحدهای سرمایی (Utah) و دینامیکی (CP) را بررسی کردند و مدل یوتا را به عنوان بهترین آن‌ها معرفی کردند. آن‌ها با استفاده از مدل یوتا و آمار دمای ۴۰۰ ایستگاه در استرالیا، وضعیت انباشت سرمایی در دوره گذشته و دوره آینده را تا سال ۲۰۳۰ بررسی کردند و همچنین دلیل اصلی کاهش انباشت سرمایی را افزایش گرمایش جهانی دانستند (Elloumi et al, 2013: 81).

گیو^۲ و همکاران (۲۰۱۴) انباشت سرمایی برای گل‌دهی درختان میوه مناطق معتدله را بررسی کردند. آن‌ها مشخص کردند که در سری زمانی ۵۰ ساله، روند افزایشی در نیاز سرمایی دیده شده؛ در حالی که انباشت سرمایی تقریباً ایستا بوده است (Guo et al, 2014: 1195).

سانتوس و همکاران (۲۰۱۶) با بررسی پیامدهای تغییر اقلیم بر روی درختان میوه معتدله در کشور پرتغال، مشخص کردند که با تغییر اقلیم، انباشت سرمایی در دوره آینده کاهش می‌یابد (Santos et al, 2016: 1).

جیوانگ و همکاران (۲۰۱۶) در بررسی انباشت سرمایی درختان زرداً لوى ژاپن، از یک مدل دینامیک برای تعیین انباشت سرمایی استفاده کردند (Zhuang et al, 2016: 68).

کافمن و بلانک (۲۰۱۶) در ارزیابی عملکرد سه مدل عددی ارزیابی انباشت سرمایی درختان میوه در آلمان، مشخص کردند که در اثر تغییرات آب و هوایی، انباشت سرمایی کاهش پیدا کرده است (Kaufmann & Blanke, 2016: 1).

1-Elloumi

2-Guo

مواد و روش‌ها

داده‌های تحقیق

در این تحقیق آمار دمای هوا در فصل سرد برابر با دوره رکود درختان میوه به صورت سینوپ‌های ۳ ساعته از سال ۱۹۸۵ تا ۲۰۱۳ میلادی از سازمان هواشناسی کشور تهیه و استخراج شد. این آمار برای ۲۸ ایستگاه همدید با آمار طولانی‌مدت، واقع در مناطق معتدل کوهستانی که از مناطق عمده کشت و تولید درختان میوه خزان دار در کشور هستند، تنظیم شده است. میوه‌های مناطق معتدله با آب‌وهای زمستان نسبتاً سرد و تابستان‌های به‌طور متوسط ملایم سازگاری دارند (رحمی، ۱۳۹۷: ۱۴۱). در فلات ایران مناطق شمال شرقی، شمال غربی، شمالی و غربی به‌خصوص دامنه‌های رشته کوه‌های البرز و زاگرس شرایط لازم برای کشت درختان خزان دار مناطق معتدل را دارند (گنجی‌قدم، ۱۳۹۰: ۱۱). این ایستگاه‌ها در محدوده استان‌های، خراسان رضوی، خراسان شمالی، سمنان، مازندران، تهران، البرز، قزوین، اردبیل، آذربایجان غربی، آذربایجان شرقی، کردستان، همدان، چهارمحال و بختیاری، اصفهان، فارس و کهگیلویه و بویراحمد واقع شده‌اند. شکل ۱، پراکنش و موقعیت چغرافیایی ایستگاه‌های مورد مطالعه و مرز استان‌ها بر روی مدل رقومی ارتفاعی ایران را نشان می‌دهد.

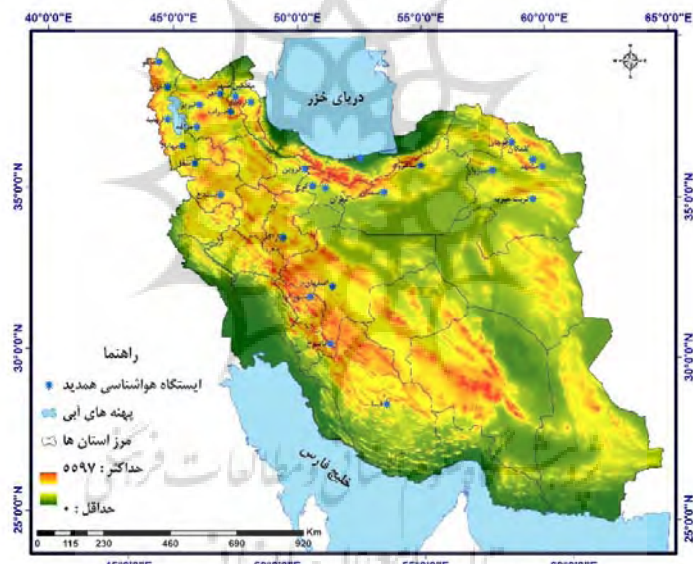
حجم کل داده ساعتی که برای این مطالعه پالایش شده است برابر با ۹,۷۴۴,۰۰۰ رکورد دمای ساعتی برای سه مدل مختلف برآورد کننده اباحت سرمایی در دوره رکود، از ماه نوامبر تا مارس است. برای هر مدل ۳,۲۵۸,۰۰۰ داده دمای ساعتی خورانده شده تا براساس آن سری زمانی اباحت سرمایی مشخص شود.

مناطق خشک و سردسیر به خود اختصاص می‌دهند (آمارنامه وزارت جهاد کشاورزی، معاونت باطنی، ۱۳۹۳).

میزان تجمع واحدهای سرمایی برای تولید و گلدهی درختان میوه خزان کننده معتدل، حیاتی و ضروری است. تأمین سرمایی زمستانه درختان خزان کننده مناطق معتدله به حدی حیاتی است که بی‌توجهی به این مهم موجب هدررفت سرمایه و منابع می‌شود. تمام درختان میوه تجاری که در مناطق جنوب حاره و معتدل رشد می‌کنند، لازم است نیاز سرمایی آن‌ها در دوره رکورد زمستانه تأمین شود تا به گلدهی همگن و اندازه مطلوبی از میوه برسند و همچنین از نظر اقتصادی عملکردهای مناسبی را تولید کنند. سنجش مناطق مختلف از طریق ایستگاه‌های هواشناسی، گامی مؤثر در درک توان اقلیمی هر منطقه برای درک اباحت سرمایی محسوب می‌گردد. دمای هوا در میان سنجه‌های اقلیمی، مهم‌ترین فاکتور تعیین‌کننده برای درختان میوه محسوب می‌شود. چون انسان کنترل کمتری روی این سنجه اقلیمی دارد، بهتر است با استفاده از دماهای ساعتی، میزان اباحت سرمایی با مدل‌های مختلف را کمی‌سازی کرده و برای انتخاب واریته‌ها و گونه‌های مناسب اقدام گردد. با توجه به روند گرمایش جهانی و دگرگونی اقلیمی، امروزه ارزیابی اباحت سرمایی کانون توجه مطالعات جهانی شده است. بررسی منابع نشان داد که مطالعه جامعی بر روی اباحت سرمایی و واسنجی مدل‌های مختلف برآورد کننده با ایستگاه‌های بیشتر و آمار طولانی مدت ساعتی انجام نگرفته؛ از این‌رو مطالعه حاضر با هدف واکاوی اباحت سرمایی زمستانه مناطق سردسیر ایران، براساس مدل‌های Utah و CP، با استفاده از آمار بلندمدت دمای سه ساعتی دیدبانی‌های ایستگاه‌های هواشناسی همدید طراحی و انجام شده است.

شدن طول روز، گیاه معمولاً برای ورود به مرحله رکود آماده می‌شود. شروع استراحت، همزمان با ریزش برگ‌ها بوده و پس از آن گیاهان وارد رکود واقعی می‌شوند. درختان خزان‌کننده مناطق معتدل به طور معمول از اوایل نوامبر با ریزش برگ‌ها دوره رکود آن‌ها آغاز می‌شود (رسول‌زادگان، ۱۳۷۰: ۲۵۱). برای روند تغییرات سری زمانی نیاز سرمایی، از روش ناپارامتری من-کن达尔 و برای واسنجی مدل‌های مختلف انباشت سرمایی، از معیارهای اعتبارسنجی استفاده شده است که در ادامه تشریح خواهد شد.

در ادامه بهمنظر برآورد انباشت سرمایی در کشور از طریق ایستگاه‌های هواشناسی مورد مطالعه، از سه مدل رایج برآورد کننده انباشت سرمایی استفاده شد. مدل‌های مذکور، مدل ساعت‌ساعت سرمایی (CH)، واحدهای سرمایی (Utah)، و مدل دینامیکی بهره‌های سرمایی (CP) می‌باشد که در ادامه، تشریح هر مدل بیان شده است. حداقل زمان لازم برای سرمادهی یک رقم در زمان خواب درخت، که موجب ازسرگیری رشد طبیعی آن در فصل رویش می‌شود، نیاز یا انباشت سرمایی گفته می‌شود. در انتهای فصل رشد با کوتاه



شکل ۱: پرائشن و موقعیت جغرافیایی ایستگاه‌های هواشناسی مورد مطالعه

تهریه و ترسیم: نگارندگان، ۱۳۹۵

ساعت‌سرمایی به دلیل متدال‌بودن برای طبقه‌بندی انباشت سرمایی، با توجه به نیاز سرمایی درختان خزان‌دار مشخص شد. با تعیین سری زمانی انباشت سرمایی از سال ۱۹۸۵ تا ۲۰۱۳، روند تغییرات انباشت سرمایی براساس آزمون ناپارامتری من-کن达尔 مشخص گردید. در ادامه عملکرد مدل‌های مختلف، اعتبارسنجی شد.

روش بررسی

در تحقیق حاضر، واکاوی انباشت سرمایی، به صورت برآورد روند تغییرات و اعتبارسنجی مدل‌های برآورد کننده بررسی شد. بعد از تعیین پالایش و تبدیل دمای سه ساعته به دمای ساعتی، انباشت سرمایی برای هر مدل و به تفکیک هر ایستگاه و هر سال برآورد گردید. بعد از تحلیل نتایج هر مدل، نتایج مدل

می شود. لازم به ذکر است که این روش برای هر یک بازه سه ساعته از دمای هوا براساس دمای قبل و بعد از آن به طور مستقل به کار می رود. عملیات این روش در محیط برنامه نویسی نرم افزار اکسل برای هر ایستگاه و هر سال از ماه نوامبر تا مارس تهیه و تنظیم شده است. نمونه موردی عملیات تبدیل دمای ساعتی در جدول (۱) مشخص شده است.

برای محاسبه مدل های مذکور با استفاده از امکانات برنامه نویسی نرم افزار اکسل، برای هر مدل برنامه لازم تهیه و تنظیم گردید و سپس با اعمال داده ساعتی، سری زمانی مجموع انباشت ساعتی از ۱۹۸۵ تا ۲۰۱۳ برای دوره رکود از ماه نوامبر تا ماه مارس به تدقیک هر ایستگاه و هر سال، محاسبه و مشخص شد.

ورودی هر مدل انباشت سرمایی، آمار دمای ساعتی می باشد. به طور معمول آمار دمای هوا در ایستگاه های هواشناسی طبق دستور العمل سازمان هواشناسی جهانی هر سه ساعت یکبار برای هشت نوبت در شبانه روز دیده بانی و ثبت می شود. این آمار سازمان هواشناسی به صورت سینوپ های سه ساعته در اختیار کاربران قرار می گیرد. برای تعیین انباشت سرمایی لازم است که دمای هر ساعت برای ۲۴ شبانه روز مشخص شود تا مدل ها بتوانند ارزش های سرمایی ساعت مختلف را انباشته کنند. در همین راستا از روش درون یابی خطی برای تبدیل دمای سه ساعته به دمای ساعتی استفاده شد. در این روش دمای سه ساعت قبل با دمای سه ساعت بعد جمع شده و با تقسیم بر بازه سه ساعته، یک سوم به دمای قبلی اضافه

جدول ۱: نمونه محاسبات تبدیل دمای سه ساعته به دمای سه ساعتی ماه دسامبر برای ایستگاه ارومیه

GMT	HOUR	دسامبر																							
		MONTH	0	1	2	3	4	5	6	7	8	9	10	11	12	13	14	15	16	17	18	19	20	21	22
1	1.2	1.1	1.1	1	2.4	3.8	5.2	7.1	8.9	10.8	11.1	11.3	11.6	9.4	7.2	5	3.9	2.7	1.6	1.2	0.8	0.4	0.5	0.5	
2	0.6	0.4	0.2	0	2.1	4.1	6.2	7.7	9.1	10.6	10.7	10.7	10.8	8.5	6.3	4	3.1	2.3	1.4	1.3	1.1	1	1.1	1.3	
3	1.4	0.9	0.5	0	1.8	3.6	5.4	7.1	8.7	10.4	10.5	10.7	10.8	9.4	8.0	6.6	5.1	3.7	2.2	2.0	1.8	1.6	1.3	0.9	
4	0.6	0.4	0.2	0	1.6	3.2	4.8	6.7	8.7	10.6	10.8	11.0	11.2	8.6	6.0	3.4	2.4	1.4	0.4	0.3	0.3	0.2	-0.9	-2.1	
5	-3.2	-3.1	-3.1	-3	-0.6	1.8	4.2	6.1	8.1	10	10.1	10.3	10.4	7.5	4.5	1.6	0.6	-0.4	-1.4	-1.7	-2.1	-2.4	-2.7	-3.1	
6	-3.4	-3.7	-3.9	-4.2	-2.1	0.1	2.2	4.3	6.3	8.4	8.6	8.8	9	6.5	3.9	1.4	0.5	-0.3	-1.2	-1.9	-2.7	-3.4	-3.7	-4.1	
7	-4.4	-4.7	-4.9	-5.2	-3.4	-1.6	0.2	2.7	5.1	7.6	7.9	8.3	8.6	6.4	4.2	2	0.5	-1.1	-2.6	-2.8	-3.0	-3.2	-3.5	-3.7	
8	-4	-4.2	-4.4	-4.6	-2.8	-1.0	0.8	3.0	5.2	7.4	7.5	7.7	7.8	5.6	3.4	1.2	0.1	-0.9	-2	-2.3	-2.7	-3	-3.5	-3.9	
9	-4.4	-4.2	-4.0	-3.8	-2.9	-1.9	-1	1.5	4.1	6.6	7.4	8.2	9	6.6	4.2	1.8	0.7	-0.3	-1.4	-0.6	0.2	1	1.1	1.3	
10	1.4	1.8	2.2	2.6	3.5	4.3	5.2	5.9	6.7	7.4	8.7	9.9	11.2	9.9	8.5	7.2	6.5	5.7	5	4.3	3.7	3	2.4	1.8	
11	1.2	0.1	-0.9	-2	-0.8	0.4	1.6	2.8	4.0	5.2	5.1	4.9	4.8	2.9	0.9	-1	-1.8	-2.6	-3.4	-4.4	-5.4	-6.4	-5.6	-4.8	
12	-4	-3.7	-3.5	-3.2	-2.5	-1.7	-1	-0.1	0.7	1.6	1.6	1.6	1.6	0.5	-0.7	-1.8	-2.5	-3.1	-3.8	-5.2	-6.6	-8	-8.1	-8.3	
13	-8.4	-8.1	-7.7	-7.4	-6.1	-4.9	-3.6	-1.8	0.0	1.8	1.9	1.9	2	0.5	-0.9	-2.4	-3.7	-4.9	-6.2	-6.7	-7.1	-7.6	-7.8	-8.0	
14	-8.2	-8.6	-9.0	-9.4	-7.5	-5.5	-3.6	-1.7	0.3	2.2	2.5	2.9	3.2	1.0	-1.2	-3.4	-4.1	-4.7	-5.4	-6.4	-7.4	-8.4	-8.5	-8.7	
15	-8.8	-9.0	-9.2	-9.4	-6.9	-4.3	-1.8	0.3	2.3	4.4	4.3	4.3	4.2	2.3	0.5	-1.4	-2.1	-2.9	-3.6	-4.1	-4.5	-5	-4.1	-3.1	
16	-2.2	-2.5	-2.9	-3.2	-2.5	-1.9	-1.2	-0.2	0.8	1.8	1.9	1.9	2	0.1	-1.7	-3.6	-4.7	-5.7	-6.8	-7.0	-7.2	-7.4	-7.7	-8.1	
17	-8.4	-9.3	-10.1	-11	-8.3	-5.7	-3	-1.1	0.9	2.8	2.9	2.9	3	1.2	-0.6	-2.4	-3.5	-4.7	-5.8	-6.5	-7.1	-7.8	-8.3	-8.9	
18	-9.4	-9.5	-9.7	-9.8	-8.0	-6.2	-4.4	-2.6	-0.8	1	1.5	1.9	2.4	0.2	-2.0	-4.2	-5.5	-6.7	-8	-8.5	-8.9	-9.4	-9.4	-9.4	
19	-9.4	-10.1	-10.9	-11.6	-9.4	-7.2	-5	-3.1	-1.1	0.8	0.9	1.1	1.2	-0.5	-2.1	-3.8	-4.4	-5.0	-5.6	-6.2	-6.8	-7.4	-6.5	-5.5	
20	-4.6	-5.7	-6.9	-8	-6.5	-5.1	-3.6	-1.2	1.2	3.6	4.1	4.7	5.2	2.5	-0.1	-2.8	-3.5	-4.3	-5	-5.3	-5.5	-5.8	-6.3	-6.9	
21	-7.4	-4.9	-2.5	0	0.1	0.1	0.2	1.7	3.3	4.8	5.5	6.3	7	5.5	3.9	2.4	1.9	1.5	1	0.7	0.3	0	0.3	0.7	
22	1	1.1	1.1	1.2	1.7	2.1	2.6	3.5	4.3	5.2	5.3	5.3	5.4	4.4	3.4	2.4	2.6	2.8	3	2.5	1.9	1.4	1.0	0.6	
23	0.2	0.0	-0.2	-0.4	0.5	1.5	2.4	3.6	4.8	6	6.3	6.7	7	6.5	5.9	5.4	5.8	6.2	6.6	5.4	4.2	3	2.9	2.9	
24	2.8	2.6	2.4	2.2	2.7	3.3	3.8	5.2	6.6	8	8.3	8.7	9	7.7	6.5	5.2	5.3	5.5	5.6	4.3	2.9	1.6	2.8	4.0	
25	5.2	4.7	4.3	3.8	4.4	5.0	5.6	6.3	7.1	7.8	7.8	7.8	7.8	6.7	5.5	4.4	4.0	3.6	3.2	2.6	2.0	1.4	1.0	0.6	
26	0.2	0.3	0.3	0.4	0.7	0.9	1.2	1.3	1.5	1.6	1.9	2.3	2.6	2.1	1.5	1	-0.1	-1.1	-2.2	-2.7	-3.1	-3.6	-3.9	-4.1	
27	-4.4	-4.5	-4.7	-4.8	-3.9	-2.9	-2	-0.4	1.2	2.8	2.8	2.8	2.8	1.2	-0.4	-2	-2.6	-3.2	-3.8	-4.0	-4.2	-4.4	-4.6	-4.8	
28	-5	-4.1	-3.3	-2.4	-2.1	-1.9	-1.6	-0.5	0.5	1.6	1.9	2.1	2.4	0.8	-0.8	-2.4	-3.1	-3.7	-4.4	-4.8	-5.2	-5.6	-5.7	-5.9	
29	-6	-6.4	-6.8	-7.2	-5.4	-3.6	-1.8	-0.5	0.9	2.2	2.8	3.4	4	2.2	0.4	-1.4	-0.7	-0.1	0.6	-0.4	-1.4	-2.4	-3.7	-5.1	

مأخذ: مطالعات تگارندگان، ۱۳۹۵

مدل Utah

در مدل یوتا به عنوان یک مدل وزن دار شده، دماهای بالا برروی انباشت سرمایی اثر منفی می‌گذارند، این مدل توسط ریچاردسون و همکاران (*Richardson et al.*, ۱۹۷۴) پیشنهاد شده است، (*Zhang & Taylor*, ۱۹۷۴:337). این مدل با شرایط اقلیمی متغیر، سازگاری پیدا کرده است (*Zhang & Taylor*, ۲۰۱۱:421) در این مدل دماهای پایین‌تر از $1/4$ و بالاتر از $12/4$ درجه سانتی‌گراد بدون ارزش سرمایی و دماهای بالاتر از $15/4$ درجه سانتی‌گراد اثربخشی نداشته و اثری منفی دارند. دماهای بین $1/4$ تا $2/4$ درجه، دارای ارزش سرمایی $0/5$ ، دماهای بین $2/4$ تا $9/1$ درجه، دارای ارزش سرمایی 1 و دماهای بین $0/5$ تا $12/4$ درجه سانتی‌گراد نیز از ارزش سرمایی $0/5$ برخوردار می‌باشند. در این مدل تعداد ساعت‌های سرمایی (*Richardson et al.*, ۱۹۷۴: 338) نمونه موردنی نهودی نهاده محاسبه این مدل در جدول (۲) مشخص شده است. در این مدل نیز در محیط نرم‌افزار اکسل با استفاده ازتابع شرطی (IF) برای دماهای ساعتی برنامه‌ای تنظیم شد که براساس رابطه (۲) دماهای ساعتی را به صورت واحدهای سرمایی با اوزان $0/5$ ، $0/0$ و 1 و وزن‌های $-0/5$ مشخص کند. این برنامه برای هر سال و هر ماه به تفکیک هر ایستگاه محاسبه و اعمال شد.

(۲)

$$UC_{U_t} = \sum_{i=1}^t T_U, \quad T_U = \begin{cases} T_U = T < 1/4^\circ C & : 0 \\ 1/4^\circ C < T \leq 2/4^\circ C & : 0/5 \\ 2/4^\circ C < T \leq 9/1^\circ C & : 1 \\ 9/1^\circ C < T \leq 12/4^\circ C & : 0/5 \\ 12/4^\circ C < T \leq 15/9^\circ C & : 0 \\ 15/9^\circ C < T \leq 18^\circ C & : -0/5 \\ T \geq 18^\circ C & : -0/5 \end{cases}$$

مدل ساعت‌های سرمایی CH

معمول‌ترین مدل سرمایی و یکی از پرکاربردترین مدل‌ها، مدل CH یا ساعت‌های سرمایی است، این مدل به مدل واینبرگر (*Weinberger*, 1950:123) و بنت (*Bennet*, 1949:358) معروف است. این مدل اولین بار برای درختان هلو در چرچیا در ایالات متحده آمریکا ارائه داده شد، تمام ساعت‌های سرمایی بین صفر تا $7/2$ درجه سانتی‌گراد، به صورت مؤثر برای انباشت سرمایی تفسیر می‌نماید (*Luedeling et al.*, 2009:1855). واینبرگر (۱۹۵۰) استفاده از تعداد ساعت‌های کمتر از $7/2$ درجه سانتی‌گراد یا کمتر از 45 درجه فارنهایت در طول فصل زمستان را پیشنهاد داده‌اند (*Weinberger*, 1950: 358). دماهای یخ‌بندان در انباشت سرمایی این مدل نقشی ندارند (*Zhang & Taylor*, 2011:422 ; *Luedeling et al.*, 2009:1855) نمونه موردی محاسبات این مدل، مشابه مدل یوتا است که در جدول ۲، مشخص شده است. در این مدل تعداد ساعت‌های سرمایی در زمان t (زمان از آغاز دوره رکود بر حسب ساعت) عبارت است از (*Luedeling et al.*, 2009:1856)

(۱)

$$CH_t = \sum_{i=1}^t T_{7/2}, \quad T_{7/2} = \begin{cases} 0^\circ C < T < 7/2^\circ C & : 1 \\ \text{else} & : 0 \end{cases}$$

بعد از تنظیم و تبدیل دمای ساعتی با استفاده ازتابع شرطی (IF) برنامه‌ای مشخص شد که فقط دماهایی که در محدوده دماهای 0 تا $7/2$ درجه سانتی‌گراد قرار دارند ارزش سرمایی 1 ، داشته باشند و بقیه دماها را بدون ارزش سرمایی مشخص کنند. این برنامه برای هر سال و هر ماه به تفکیک هر ایستگاه محاسبه و اعمال شد.

جدول ۲: نمونه موردی محاسبات مدل یوتا برای سال ۲۰۰۸ ماه دسامبر در ایستگاه ارومیه

Day	Hour	برآورد انباشت سرمایی براساس مدل یوتا برای ماه دسامبر سال ۲۰۰۸ ایستگاه ارومیه																							ΣCUH
		1	2	3	4	5	6	7	8	9	10	11	12	13	14	15	16	17	18	19	20	21	22	23	
1	1	1	1	1	1	1	1	1	0/5	1	1	1	1	1	1	1	1	1	1	1	1	1	1	1	22
2	1	1	1	1	1	1	1	1	0/5	0/5	0/5	0/5	0/5	0/5	0/5	1	1	1	1	1	1	1	1	1	16
3	1	1	1	1	1	1	1	1	0/5	0/5	0/5	0/5	0/5	0/5	1	1	1	1	1	1	1	1	1	1	17
4	1	1	1	1	1	1	1	1	0/5	0/5	0/5	0/5	0	0/5	0/5	1	1	1	1	1	1	1	1	1	16
5	1	1	1	1	1	1	1	1	0/5	0/5	0/5	0/5	0	0	0/5	1	1	1	1	1	1	1	1	1	15
6	0/5	0/5	0	1	1	1	1	0/5	0/5	0/5	0	0	0	0	0/5	0/5	1	1	1	0/5	0/5	0/5	0/5	0	6
7	0	0	0	0/5	1	1	0/5	0/5	0	0	0	0	0	0/5	0/5	1	1	1	1	0/5	0/5	0	0	0	7
8	0	0	0	1	1	0/5	0/5	0/5	0	0	0	0	0	0/5	1	1	1	1	1	1	1	1	1	0/5	11
9	0/5	0/5	0/5	1	1	1	1	0/5	0/5	0/5	0/5	0/5	0/5	0/5	0/5	1	1	1	1	1	1	1	1	1	12
10	1	1	1	1	1	1	1	1	1	1	1	1	1	1	1	1	1	1	1	1	1	1	1	1	23
11	1	1	1	1	1	1	1	1	1	1	1	1	1	1	1	1	1	1	1	1	1	1	1	1	23
12	1	1	1	1	1	1	1	1	1	1	1	1	0/5	0/5	1	1	1	1	0/5	1	1	1	1	1	20
13	1	1	1	1	1	1	1	1	1	1	1	1	1	1	1	1	1	1	0	0/5	1	1	1	1	21
14	1	1	1	1	1	1	1	1	1	1	1	1	1	1	1	1	1	1	1	1	1	1	1	1	23
15	1	1	1	1	1	1	1	1	0/5	0/5	0/5	0/5	0/5	1	1	1	1	0/5	0	0	0	0	0	0	12
16	0	0	0	0	1	1	1	1	0/5	0/5	0/5	0/5	0/5	1	1	1	0	0	0	0	0	0	0	0	8
17	0	0	0	0/5	1	1	1	1	0/5	0/5	0/5	1	1	1	1	0/5	0	0	0	0	0	0	0	0	9
18	0	0	0	0	1	1	1	1	0/5	0/5	0/5	0/5	0/5	1	1	1	0/5	0	0	0	0	0	0	0	8
19	0	0	0	0	0/5	1	1	1	0/5	0/5	0/5	0/5	0/5	1	1	1	1	1	1	1	1	1	1	1	13
20	1	1	1	1	1	1	1	1	1	0/5	0/5	1	1	1	1	1	1	1	1	1	1	1	1	1	21
21	1	1	1	1	1	1	1	1	0/5	0/5	0	0	0	0/5	0/5	1	1	1	1	1	0/5	0	0	0	12
22	0	0	0	0/5	1	1	1	0/5	0/5	0/5	0	0	0	0/5	1	1	1	1	1	0/5	0	0/5	0/5	8	
23	0	0	0	0	1	1	1	0/5	0/5	0	0	0	0	0	0/5	0/5	1	1	1	1	1	1	1	11	
24	0/5	0	0	1	1	1	0/5	0/5	0	0	0	0	0	0/5	0/5	1	1	1	1	1	0/5	0/5	0	9	
25	0	0	0	0/5	1	1	1	0/5	0/5	0/5	0	0	0	0/5	1	1	1	1	0/5	0/5	0/5	0/5	0	7	
26	0	0	0	0/5	1	1	1	0/5	0/5	0/5	0/5	0/5	0	0/5	1	1	1	1	0/5	0	0	0	0	8	
27	0	0	0	0/5	1	1	1	0/5	0/5	0/5	0/5	0/5	0/5	1	1	1	1	0/5	0	0	0	0	0	7	
28	0	0	0	0	0/5	1	1	1	1	0/5	0/5	0/5	1	1	1	1	1	1	1	1	1	1	0/5	14	
29	0/5	1	1	1	1	1	1	1	0/5	0/5	0/5	0/5	0/5	1	1	1	1	1	1	1	1	1	1	16	

مأخذ: مطالعات تگارنده‌گان، ۱۳۹۵

سرمایی تبدیل می‌شود. تأثیر دماهای بالا و تداوم آن‌ها نیز در نظر گرفته می‌شود. برتری این مدل نسبت به دیگر مدل‌ها در این است که با رخداد دماهای گرم، انباشت سرمایی خنثی نمی‌شود. نمونه موردی از نحوه محاسبه این مدل در جدول (۳) مشخص شده است. در این راستا دمای ساعتی برای ۲۴ ساعت شبانه‌روز برای هر روز از دوره زمانی مورد مطالعه، به صورت سانتی‌گراد وارد می‌شود و سپس یک فرایند براساس مقادیر ثابت در ستون‌های مختلف سرمایی مشخص شود. مقادیر عددی ثابت‌های Slp , $tetmlt$, e_1 , e_2 , α_1 , α_2 و e_3 که در عملیات مربوط به باغبانی از آن‌ها استفاده می‌نمایند، به ترتیب عبارت‌اند از: $1,277,13950.0/10^{18}$, $1,277,13950.0/567810^{18}$ و $4153/5$. (*Luedeling & Brown, 2011:411; Zhang & Taylor, 2011: 421*)

CP مدل دینامیکی

مدل دینامیکی به عنوان یکی از مهم‌ترین مدل‌ها برای توسعه باغبانی در خاورمیانه توسط Fishman¹ و همکاران ارائه شده است (Fishman et al, 1987:309). این مدل سرما را بر مبنای دمای ساعتی اندازه‌گیری می‌کند و واحدهای انباشت‌شده را با عنوان بخش‌ها یا سهم‌های سرمایی² مشخص می‌کند. بخش‌های سرمایی به اختصار به CP ارائه شده است. در این مدل فرض می‌شود نیاز سرمایی از یک فرایند دو مرحله‌ای تشکیل شده است که در طی آن نخست؛ مقدار انباشت سرمایی در فرایند تسریع شده متوجه دمای سرد، تشکیل می‌شود که معمولاً انباشت متوسط هم نامیده می‌شود. رخداد دماهای گرم می‌تواند این شرایط متوسط سرمایی را تخریب نماید. به محسن اینکه یک مقدار مشخصی از انباشت سرمایی تشکیل شد، این محصول به طور برگشت‌ناپذیری به بخش‌های

1-Fishman

2-Chill portions

وضعیت بخش‌های سرمایی را مشخص می‌نماید. دماهای بالا و یخنдан بدون هیچ‌گونه تأثیر به صورت صفر مشخص می‌شود.

در این مدل دماهایی که در انباشت سرمایی نقش ندارند به صورت \cdot و دماهایی که ارزش سرمایی دارند به صورت 1 مشخص می‌شوند. مجموع این Portions

جدول ۳: نمونه موردی از محاسبه مدل دینامیکی بر روی ایستگاه ارومیه

ایستگاه ارومیه													
توضیحات: لذ ساقع به صورت ساعتی گراد در ستون قوارde می‌شود. ردیف های ۱۱ و ۱۲ نباید حذف شوند. باز ورد داده ساعتی در ستون C مجموع بخش‌های سرمایی در ستون L مشخص خواهد شد.													
	date	Temp(C)	Temp (K)	tmprrt	sr	xi	xs	ak1	Inter-S	Inter-E	delt	Portions	
	12/04/1999 16:45	15	288.00	16.93	22471935.51	1.00	0.81	0.09	0.00	0.07	0.00	0	
	12/04/1999 17:45	12	285.00	12.44	252887.94	1.00	1.11	0.06	0.0726043	0.13	0.00	0	
	10/01/2008	2	275.00	-3.22		0.04	0.04	3.39	0.01	0.1319383	0.17	0.00	1
	10/01/2008	5	278.00	1.59		4.92	0.83	2.41	0.02	0.168705	0.21	0.00	1
	10/01/2008	4.6	277.60	0.96		2.61	0.72	2.52	0.02	0.2104207	0.25	0.00	1
	10/01/2008	6	279.00	3.18		23.98	0.96	2.15	0.02	0.2506815	0.29	0.00	1
	10/01/2008	5	278.00	1.59		4.92	0.83	2.41	0.02	0.292422	0.33	0.00	1
	10/01/2008	2.3	275.30	-2.74		0.06	0.06	3.28	0.01	0.3318323	0.37	0.00	1
	10/01/2008	1	274.00	-4.85		0.01	0.01	3.81	0.01	0.3667727	0.40	0.00	1
	10/01/2008	0	273.00	-6.49		0.00	0.00	4.28	0.01	0.3995185	0.43	0.00	1
	10/01/2008	2	275.00	-3.22		0.04	0.04	3.39	0.01	0.4306206	0.46	0.00	1
	10/01/2008	9	282.00	7.86		2586.75	1.00	1.54	0.04	0.4640183	0.50	0.00	0
	10/01/2008	6	279.00	3.18		23.98	0.96	2.15	0.02	0.5024407	0.54	0.00	0
	10/01/2008	5	278.00	1.59		4.92	0.83	2.41	0.02	0.5386509	0.57	0.00	0
	10/01/2008	4	277.00	0.00		1.00	0.50	2.70	0.02	0.5734727	0.61	0.00	0
	10/01/2008	3	276.00	-1.61		0.20	0.17	3.02	0.01	0.6069855	0.64	0.00	0
	10/01/2008	2	275.00	-3.22		0.04	0.04	3.39	0.01	0.6392446	0.67	0.00	0

مأخذ: مطالعات نگارندگان، ۱۳۹۵

می‌شود سپس این نقطه به محل خود برگردانده شده و نقطه بعدی حذف می‌گردد و به همین ترتیب برای تمام نقاط، برآورده صورت می‌گیرد. در پایان ستون مقادیر مشاهدهای و ستون مقادیر برآورده شده در قالب MAE، RMSE، MBE برای پیش‌بینی انباشت سرمایی در سال، با هم مقایسه می‌شوند. میانگین قدر مطلق خطای انباشت سرمایی در این معیار هر چقدر مقدار آن نزدیک به صفر باشد، نتایج اعتبارسنجی برای پیش‌بینی انباشت سرمایی دقیق‌تر است.

اعتبارسنجی مدل‌های انباشت سرمایی
به منظور اعتبارسنجی مدل‌های مختلف نیاز سرمایی، از معیارهای اعتبارسنجی تقاطعی استفاده شده است. روش‌های مختلفی برای اعتبارسنجی برمنای روش‌های درون‌یابی وجود دارد، یکی از مهم‌ترین آن‌ها روش اعتبارسنجی تقاطعی است. اساس روش‌های اعتبارسنجی تقاطعی این است که تعدادی از نقاط حذف و درون‌یابی با بقیه نقاط انجام می‌گیرد؛ در واقع مقادیر مشاهده شده به صورت موقت از مجموعه داده‌های نمونه حذف شده و با استفاده از سایر نقاط نمونه برای آن، مقادیر جدیدی برآورده می‌شود. در این روش برای هر یک از نقاط مشاهده‌ای، که معمولاً تنها ابزار مقایسه است، با به کارگیری روش درون‌یابی، نقطه موردنظر برآورده

روش ناپارامتری من-کندال

برای بررسی روند تغییرات نیاز سرمایی از روش ناپارامتری من-کندال استفاده شد. این روش ابتدا توسط من^۱ (۱۹۴۵) ارائه و سپس توسط کندال^۲ (Mann, 1945: 445) تکامل یافت؛ (Mann, 1975: 1975).

(Kendall, 1975: 156) این روش که به طور گسترده در مباحث علوم محیطی و هواشناسی کاربرد دارد، یکی از روش‌های ناپارامتری مهم برای آزمون روند سری‌های زمانی محسوب می‌شود.

(۶)

$$Z = \begin{cases} x = \frac{s - 1}{\text{var}(s)} & \text{ifs} > 0 \\ x = \frac{s + 1}{\sqrt{\text{var}(s)}} & \text{ifs} = 0 \\ x = \frac{s - 1}{\sqrt{\text{var}(s)}} & \text{ifs} < 0 \end{cases}$$

در این رابطه S نشانه تفاوت مقادیر با یکدیگر و $\text{var}(s)$ پراش S است:

(۷)

$$S = \sum_{k=1}^{n-1} \sum_j^n = k + 1 \operatorname{sgn}(x_j - x_k)$$

(۸)

$$\text{Var}(s) = \frac{n - (n - 1)(2n + 5) - \beta}{18}$$

در این رابطه n تعداد مشاهدات سری، X_j و X_k به ترتیب داده‌های J ام و K ام سری (مرتب شده به ترتیب وقوع) Signتابع علامت (رابطه ۷) و β عاملی مربوط به تصحیح پراش است، درصورتی که داده‌های تکراری در اطلاعات وجود داشته باشد (رابطه ۸):

(۹)

$$\operatorname{Sgn}(x) = \begin{cases} +1 & \text{if } (x_j - x_k) > 0 \\ 0 & \text{if } (x_j - x_k) = 0 \\ -1 & \text{if } (x_j - x_k) < 0 \end{cases}$$

(۳)

$$\text{MAE} = \frac{\frac{1}{n} \sum_{i=1}^n |z^*(X_i) - Z(X_i)|}{n}$$

z^* : مقدار برآوردشده متغیر در x_i ، $Z(x_i)$: مقدار مشاهده‌ای متغیر در x_i : تعداد نقاط با متغیر مشاهده‌ای. هر چقدر مقدار MAE به صفر نزدیک‌تر باشد نشان‌دهنده دقیق‌تر روش می‌باشد. مقدار این معیار همواره مثبت است.

میانگین انحراف خطای انباشت سرمایی

میانگین انحراف خطاهای MBE، در حقیقت اختلاف بین میانگین مقادیر مشاهده‌ای و برآورده است و بیانگر انحراف از میانگین می‌باشد. این مقدار می‌تواند مثبت یا منفی باشد که نشان‌دهنده برآورد کمتر و بیشتر از میانگین داده‌هاست. این معیار نیز هر چقدر به صفر نزدیک‌تر باشد، نشان‌دهنده اختلاف کمتر مقادیر برآوردشده نسبت به مقادیر مشاهده‌ای می‌باشد. در شرایطی که MBE برابر صفر باشد، مدل درون‌یابی متغیر موردنظر را به طور دقیق برآورد می‌کند.

(۴)

$$\text{MBE} = \frac{\frac{1}{n} \sum_{i=1}^n (z^*(X_i) - z(X_i))}{n}$$

ریشه دوم میانگین مربع خطای انباشت سرمایی این معیار به صورت زیر محاسبه شده و هر چقدر به صفر نزدیک‌تر باشد بیانگر خطای کمتری در پیش‌بینی انباشت سرمایی است.

(۵)

$$\text{RMSE} = \sqrt{\frac{\frac{1}{n} \sum_{i=1}^n (Z^*(X_i) - Z(X_i))^2}{n}}$$

عرض جغرافیایی پایین‌تر و ملایم‌بودن زمستان و ایستگاه سراب به دلیل عرض جغرافیایی بالاتر و سرماهای زیاد، انباشت سرمایی کمتری را نشان می‌دهند. براساس مدل یوتا ایستگاه‌های بابلسر و یاسوج با بیش از ۲۰۰۰ واحد سرمایی بیشترین میزان واحد سرمایی را در بین ایستگاه‌ها به خود اختصاص داده‌اند. در ایستگاه بابلسر دماهای ملایم در زمستان باعث شده تا میزان انباشت سرمایی با مدل یوتا افزایش یابد. ایستگاه‌های اصفهان، تربت‌حیدریه، قزوین، شهرود، مهاباد، مراغه، گلمکان، سنتنچ، سمنان و کرج با ۱۸۰۰ تا ۲۰۰۰ واحد سرمایی، از میزان واحد سرمایی نسبتاً بالایی برخوردار می‌باشند. در ایستگاه‌های اردبیل، مشگین‌شهر، اهر، سقز، ارومیه، ماکو و خوی، میزان انباشت سرمایی بین ۱۲۰۰ تا ۱۵۰۰ واحد سرمایی مشاهده شده است. میزان واحد سرمایی این ایستگاه‌ها با توجه به شرایط اقلیمی آن‌ها و شدت سرما کمتر مشاهده می‌شود؛ در واقع سرماهای شدید در این مناطق به دلیل عرض جغرافیایی بالاتر می‌تواند موجب کاهش میزان انباشت سرمایی باشد (جدول ۴).

براساس برونداد مدل دینامیکی، میزان انباشت سرمایی در بین ایستگاه‌های مورد مطالعه، از ۶۳ تا ۹۶ بخش سرمایی متغیر است. براساس این مدل کمترین میزان انباشت سرمایی در ایستگاه‌های فسا، ماکو و سراب به ترتیب با ۶۳,۷۰ و ۷۱ بخش سرمایی رخ داده است. در ایستگاه فسا عرض جغرافیایی پایین‌تر و زمستان‌های ملایم و در ایستگاه‌های ماکو و سراب عرض جغرافیایی بالاتر و سرماهای شدید، موجب کاهش انباشت سرمایی شده است. ایستگاه‌های تربت‌حیدریه، سقز، سنتنچ، قزوین، کرج، گلمکان، شهرکرد، شهرود، سمنان، مراغه و یاسوج با ۹۰ تا

$$\beta = \sum_{i=1}^m t(t-1)(2t-5) \quad (10)$$

t تعداد داده‌های مشاهده شده، m معرف تعداد سری‌هایی است که در آن‌ها حداقل یک داده تکراری وجود دارد (سنجی پرور و شادمانی، ۱۳۹۰: ۱۲۴).

یافته‌ها

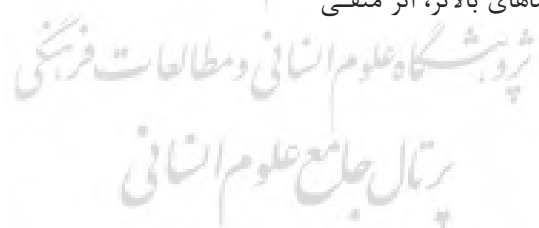
الگوی انباشت سرمایی براساس مدل‌های مختلف نتایج انباشت سرمایی براساس مدل‌های مختلف در جدول ۴، مشخص شده است. براساس برونداد مدل ساعت‌سرمایی ۰ تا ۷/۲ درجه سانتی‌گراد، میزان انباشت سرمایی در کمترین مقدار با ۷۷۵ ساعت در ایستگاه بابلسر تا ۱۴۴۵ ساعت در بالاترین مقدار در ایستگاه شهرود، متغیر می‌باشد. براساس این مدل کمترین میزان انباشت سرمایی در ایستگاه‌های فسا و بابلسر به ترتیب ۸۶۸ و ۷۷۵ ساعت سرمایی به دلیل زمستان ملایم رخ داده است. بالاترین ساعت سرمایی در ایستگاه‌های یاسوج، مراغه و شهرود با بیش از ۱۴۰ ساعت انباشت سرمایی و ایستگاه‌های گلمکان، قزوین، مهاباد، تبریز و تربت‌حیدریه با بیش از ۱۳۰ ساعت انباشت سرمایی مشاهده می‌شود. در ایستگاه‌های با عرض جغرافیایی بالا واقع در مناطق سردسیرتر مانند اردبیل، سراب، مشگین‌شهر، ماکو و خوی، به دلیل شدت سرما، میزان انباشت سرمایی کمتری با توجه به شرایط اقلیمی منطقه رخ داده است. براساس برونداد مدل یوتا میزان انباشت سرمایی در پایین‌ترین وضعیت از ۱۱۹۱ تا بالاترین شرایط ۲۱۲۱ واحد سرمایی، در بین ایستگاه‌های مورد مطالعه متغیر می‌باشد. کمترین میزان انباشت سرمایی در ایستگاه فسا و سراب به ترتیب با ۱۱۲۸ و ۱۱۹۱ واحد سرمایی مشاهده گردید. ایستگاه فسا به دلیل

بر انباشت سرمایی می‌گذارند و اثر سرما را خنثی می‌سازند (Hennessy & Greene, 1995: 332). بنابراین بهتر است که نیاز سرمایی درختان خزان‌دار مختلف با توان اقلیمی و انباشت سرمایی برونداد چند مدل برای هر منطقه مطابقت داده شود.

ضریب تغییرات انباشت سرمایی در مدل ساعت سرمایی CH، در ایستگاه‌های با انباشت سرمایی بالاتر بیشتر مشاهده می‌شود. براساس مدل یوتا این ضریب تغییرات در ایستگاه‌های، قوچان، گلستان، مشهد و تربت‌حیدریه و در مدل دینامیکی در ایستگاه‌های تبریز، سراب و فسا بیشتر مشاهده می‌شود (جدول ۴). به طور کلی در بین مدل‌های تعیین انباشت سرمایی، مدل ساعت سرمایی CH، بیشترین ضریب تغییرات و مدل دینامیکی کمترین ضریب تغییرات را دارند. این نتایج با مطالعات داریشر و همکاران (۲۰۱۱)، از نظر ضریب تغییرات بیشتر مدل ساعت سرمایی نسبت به دیگر مدل‌های تعیین‌کننده انباشت سرمایی، همخوانی دارد.

۱۰ سهم سرمایی، بالاترین میزان انباشت سرمایی را در بین ایستگاه‌ها دارا می‌باشند. بالاترین میزان انباشت سرمایی براساس مدل دینامیکی در ایستگاه‌های کرج و شاهroud با ۹۶ سهم سرمایی مشاهده می‌شود.

برونداد مدل‌های مختلف نشان داد که الگوی انباشت سرمایی از ارتفاع هر منطقه تاثیر بالایی می‌پذیرد. در تمام مدل‌های ایستگاه‌های با ارتفاع بالاتر همچنان از انباشت سرمایی لازم برخوردار بوده‌اند؛ به طور نمونه ایستگاه یاسوج با وجود عرض جغرافیایی پایین‌تر از انباشت سرمایی بالایی برخوردار می‌باشد. ساختار هر مدل برای کوشی‌سازی نیاز سرمایی درختان میوه متفاوت است. در مدل ساعت سرمایی، دماهای بالاتر از صفر، تا $7/2$ درجه سانتی‌گراد بیشتر نقش دارند. در مدل یوتا به دلیل اینکه دماهای بالاتر از ۷ تا ۱۰ درجه هم ارزش سرمایی دارند؛ بنابراین ارقام به دست آمده در مدل یوتا بالاتر است که این نمی‌تواند دلیل محکمی بر برتری این مدل باشد. مطالعات نشان داده است که دماهای بالاتر، اثر منفی



جدول ۴: الگوی انباشت برآورد سرمایی در دوره رکود برای ایستگاه‌های مورد مطالعه از نوامبر تا مارس

ایستگاه	مدل و پارامتر	مدل ساعت سرمایی ۰ - ۷/۲۵ CH			مدل واحدهای سرمایی UTAH			مدل دینامیکی، بهره‌های سرمایی CP
		ضریب تغییرات	انحراف از معیار میانگین	ضریب تغییرات	انحراف از معیار میانگین	ضریب تغییرات	انحراف از معیار میانگین	
اردبیل		۹	۷/۵	۸۲/۶	۱۹/۹	۲۸۲	۱۴۱۷	۱۶/۴
ارومیه		۵/۶	۵	۸۸	۱۶/۳	۲۵۲/۹	۱۵۴۷	۱۵/۲
اصفهان		۸/۴	۷	۸۳	۱۳	۲۳۹/۴	۱۸۲۲	۱۰/۷
اهر		۷	۶/۱	۸۷	۱۸/۸	۳۰۶/۸	۱۶۲۵	۶/۲
بابلسر		۱۲	۹/۹	۸۲	۱۷	۳۳۶/۳	۲۱۰۶	۱/۷
تبریز		۱۲/۶	۱۱/۹	۸۷	۱۶/۶	۲۸۸/۷	۱۷۳۰	۲/۸
تربت‌حیدریه		۶	۵/۵	۹۱	۳۹/۳	۷۳۸/۴	۱۸۷۸	۷/۳
تهران		۱۰	۸/۷	۸۵	۱۸/۹	۳۷۴/۸	۱۹۷۷	۱۱/۸
خوی		۹	۷/۹	۸۲	۱۸/۶	۲۸۶	۱۵۳۰	۱۶/۳
سبزوار		۸	۷/۵	۸۸	۴۱/۸	۸۲۳/۲	۱۹۶۶	۲۰/۸
سراب		۱۶/۳	۱۱/۷	۷۱	۱۹/۱	۲۲۷/۵	۱۱۹۱	۲۵/۳
سفر		۵	۵	۹۲	۱۵/۸	۲۴۵/۲	۱۵۴۴	۲۹/۸
سمنان		۶	۵/۵	۸۸	۱۶/۳	۳۲۱/۱	۱۹۶۷	۳۴/۳
سنندج		۵	۵/۴	۹۴	۱۴/۴	۲۲۳/۷	۱۸۰۶	۳۸/۸
شهرود		۴	۴/۶	۹۶	۱۴/۴	۲۸۸/۱	۱۹۸۸	۴۳/۳
شهرکرد		۸	۷/۶	۹۱	۱۴	۲۳۴/۵	۱۶۶۵	۴۷/۸
اراک		۷	۶/۸	۹۲	۱۳/۴	۲۴۲	۱۸۰۱	۵۲/۳
فسا		۱۰/۶	۶/۷	۶۳	۱۹/۵	۲۵۱/۲	۱۲۸۶	۵۶/۸
قزوین		۶	۵/۸	۹۴	۱۳/۸	۲۵۳	۱۸۳۷	۶۱/۳
قوچان		۵	۴/۸	۸۷	۴۲	۷۵۸	۱۷۰۱	۶۵/۸
کرج		۷	۷	۹۶	۱۲/۳	۲۲۶	۱۸۳۶	۷۰/۳
گلملان		۸	۷/۵	۸۸	۳۴/۶	۶۶۳	۱۹۱۵	۷۴/۸
ماکو		۹	۷	۷۰	۲۴/۴	۳۴۰	۱۳۹۵	۷۹/۳
مراغه		۷	۷	۹۳	۱۷/۹	۳۳۰	۱۸۳۶	۸۳/۸
مشگین‌شهر		۸	۶/۶	۸۱	۲۴/۶	۳۶۹	۱۴۹۶	۸۸/۳
مشهد		۵	۴/۶	۹۰	۱۳/۴	۲۵۲	۱۷۳۵	۹۲/۸
مهاباد		۵	۵	۹۰	۱۶/۱	۳۰۶	۱۹۰۱	۹۷/۳
یاسوج		۴	۴/۲	۹۳	۱۹/۹	۲۰۲	۲۱۲۸	۱۶/۴

مأخذ: مطالعات نگارنده‌گان، ۱۳۹۵

این کمینه‌ها بیشتر در نیمة دوم دوره آماری مورد مطالعه رخداده است. بیشینه‌انباشت سرمایی در ایستگاه‌هایی مانند، اهر، ارومیه، مراغه، تبریز، سبزوار و یاسوج به ترتیب با ۲۲۱۶، ۱۹۳۵، ۱۹۶۵، ۱۹۳۵، ۱۸۰۶، ۱۷۷۱ و ۱۸۱۳ ساعت سرمایی رخ می‌دهد. بیشینه‌های انباشت سرمایی در سال‌های ابتدای دوره آماری مورد مطالعه بیشتر مشاهده می‌شود (شکل ۲).

کمینه و بیشینه انباشت سرمایی براساس مدل‌های مختلف

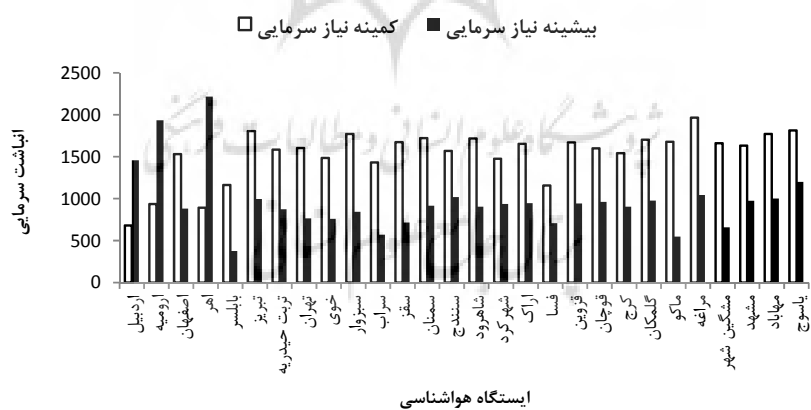
نتایج کمینه و بیشینه انباشت سرمایی براساس مدل ساعت سرمایی (CH)، در دوره آماری مورد مطالعه از سال ۱۹۸۵ تا ۲۰۱۳ در شکل ۲، مشخص شده است. براساس این مدل، کمینه نیاز سرمایی در ایستگاه‌های بابلسر، ماکو، سراب و مشگین‌شهر به ترتیب با ۳۷۶، ۵۷۱، ۵۴۸ و ۶۷۹ مشاهده می‌شود.

نشان می‌دهند. بیشینه انباشت سرمایی براساس مدل دینامیکی در ایستگاه کرج و تبریز به ترتیب با ۱۱۴ و ۱۰۸ سهم سرمایی مشاهده می‌شود. براساس این مدل بیشتر ایستگاه‌ها در بعضی سال‌ها بین ۹۵ تا ۱۱۴ سهم سرمایی را نیز تجربه کرده‌اند (شکل ۳). مقادیر بیشینه از انباشت سرمایی براساس مدل دینامیکی بیشتر در سال‌های ابتدایی دوره آماری مورد مطالعه مشاهده می‌شود.

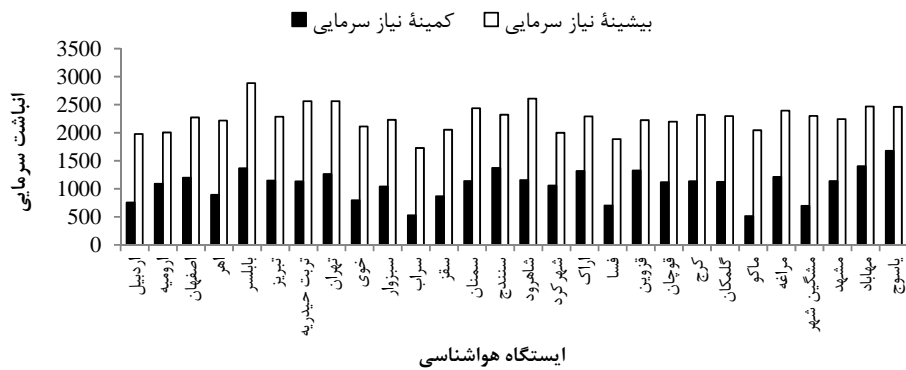
ارزیابی دماهای ساعتی در یک بازه زمانی طولانی مدت براساس مدل‌های مختلف نشان می‌دهد که بیشترین میزان انباشت سرمایی، بیشتر در ابتدای دوره آماری مورد مطالعه و در دهه‌های گذشته رخداده است؛ در واقع زمستان‌های سرد و نسبتاً سرد در گذشته نسبت به دهه‌های حال حاضر از توان تأمین کنندگی بیشتری در زمینه انباشت سرمایی برخودار بوده‌اند. در دو دهه اخیر کاهش در رخداد بیشینه‌های انباشت سرمایی کاملاً آشکار می‌باشد.

براساس مدل یوتا ایستگاه‌های اردبیل، ماکو، فسا، بابلسر، مشگین‌شهر و سراب جزو ایستگاه‌هایی هستند که رخداد کمینه واحدهای سرمایی در آن‌ها از فراوانی بیشتری برخوردار می‌باشد. از نظر بیشینه‌های انباشت سرمایی، ایستگاه بابلسر به‌دلیل زمستان ملایم و معتدل و نزدیکی به دریا، بیشترین میزان بیشینه واحد سرمایی را براساس مدل یوتا دارد. براساس این مدل، بیشینه‌های انباشت سرمایی ایستگاه‌های مورد مطالعه، تقریباً نزدیک به همدیگر است و **افت و خیز آن** نسبت به مدل ساعت سرمایی (CH) کمتر است (شکل ۳). شرایط اقلیمی و ساختار مدل، تعیین‌کننده انباشت سرمایی است؛ به‌طوری‌که ایستگاه بابلسر با توجه به اینکه جزو مناطق با ساعت سرمایی کم محسوب می‌شود؛ اما براساس ساختار مدل یوتا، بیشترین بیشینه انباشت سرمایی در دوره آماری مورد مطالعه را به خود اختصاص داده است.

براساس مدل دینامیکی، ایستگاه‌های فسا و سراب با ۴۳ و ۴۶ سهم سرمایی کمینه‌های انباشت سرمایی را

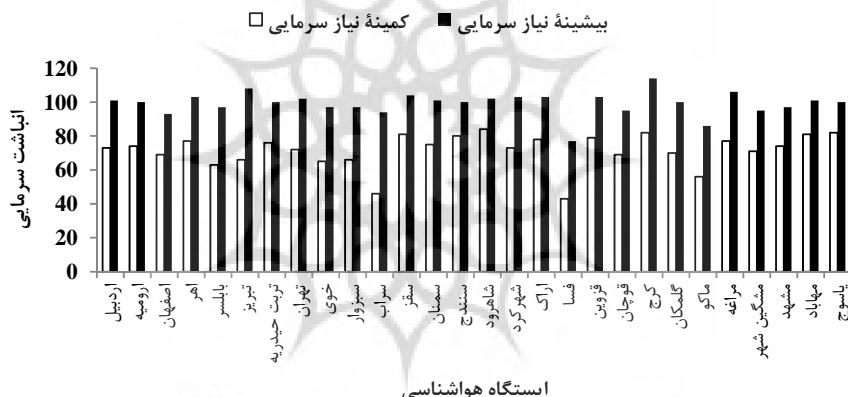


شکل ۲: وضعیت کمینه و بیشینه انباشت سرمایی در ایستگاه‌های مورد مطالعه با مدل ساعت سرمایی (CH)
تهییه و ترسیم: مطالعات نگارندهان، ۱۳۹۵



شکل ۳: وضعیت کمینه و بیشینه انباشت سرمایی در ایستگاه‌های مورد مطالعه با مدل واحدهای سرمایی (Utah)

۱۳۹۵ نگارنده: مطالعات تهییه و ترسیم



شکل ۴: وضعیت کمینه و بیشینه انباشت سرمایی در ایستگاه‌های مورد مطالعه با مدل دینامیکی (CP)

۱۳۹۵ تهییه و ترسیم: مطالعات نگارندگان

می‌دهد و درختان خزان‌دار به‌خصوص هسته‌دار و
دانه‌دار در طبقات سرمایی مختلفی قرار دارند
(Hennessy & Greene, 1995: 328)

براساس برونداد مدل ساعات سرمایی،
ایستگاههایی که کمتر از ۱۰۰۰ ساعت سرمایی در
آن‌ها مشاهده می‌شود؛ ایستگاههای بابلسر و فسا
می‌باشند. ایستگاه بابلسر به دلیل ارتفاع کم و نزدیکی
به دریا و ایستگاه فسا به دلیل عرض جغرافیایی
پایین‌تر، زمستان ملایم‌تری دارد؛ بنابراین با توجه به
این شرایط، انبیاشت سرمایی، چنین مناطقی، برای

طبقات انباشت سرمایی براساس مدل ساده (CH) به منظور شناخت بیشتر از وضعیت انباشت سرمایی متناسب با نیاز سرمایی درختان خزان دار، نتایج معمول ترین مدل برآورد کننده انباشت سرمایی یعنی ساعت سرمایی (CH) در جدول (۵) مشخص شده است. مقدار سرمای موردنیاز به طور گسترهای در بین گونه ها و همچنین ارقام درون گونه ها متغیر است. دامنه دمایی مؤثر برای اراضی نیاز سرمایی در میان گیاهان متغیر است (غریبی، ۱۳۹۵: ۳۶). پیشترین سرمایش در دمای ۶ درجه سانتی گراد رخ

باشد؛ زیرا سرمایه‌ای شدید و پایین‌تر از صفر درجه در اباحت سرمایی نه تنها نقشی ایفا نمی‌کنند؛ بلکه اثر منفی نیز دارند؛ بنابراین عرض جغرافیایی بالا دلیل محکمی برای تأمین ساعت سرمایی موردنیاز درختان خزان دار با نیاز سرمایی بالا محسوب نمی‌شود.

در بین ایستگاه‌های مورد مطالعه، تعداد مناطقی که توانایی تأمین ساعت سرمایی بسیار بالایی داشته باشند، محدود است. همانطور که در (جدول ۵) مشخص شده، در بین ایستگاه‌های مورد مطالعه فقط ایستگاه‌های شاهرود، یاسوج و مراغه توانسته‌اند بیشتر از ۱۴۰۰ ساعت، ساعت سرمایی را تأمین کنند. این شرایط برای بیشتر گونه‌ها و واریته‌ها بهخصوص ارقام دیررس تجاری بسیار مناسب است؛ بنابراین عامل ارتفاع مهم‌ترین و تعیین‌کننده‌ترین عامل در اباحت سرمایی محسوب می‌شود.

مطالعات منیعی (۱۳۶۹) نشان داد که زمستان ملایم و ارتفاع کم، عامل مهمی برای محدود کردن منطقه کشت درختان معتدله و سردسیری محسوب می‌شود. مطالعات ایشان نشان داده، مناطقی که درجه حرارت محیط در طول زمستان از ۱۰ درجه سانتی‌گراد پایین‌تر نرفته، کاشت درختان میوه سردسیری و معتدله در آن مناطق صلاح نیست؛ زیرا در چنین محیطی جوانه‌ها به کندي دوره تکامل خود را طی می‌کنند (منیعی، ۱۳۶۹: ۷۲۴).

بیشتر درختان خزان دار دانه‌دار مانند سیب و گلابی مناسب نبوده و این میزان ساعت سرمایی نمی‌تواند خواب یا رکود این درختان را بشکند؛ اما برای درختان هسته‌دار مانند، هلو، زردآلو، گیلاس، آبلالو، گوجه‌سبز، شلیل و دیگر درختان مشابه که کمتر از ۱۰۰۰ ساعت برای شکستن رکود (راحمی، ۱۳۶۹: ۴؛ Greene, 1995: 332) نیاز دارند، مناسب است.

در بین ایستگاه‌های مورد مطالعه، بیشترین میزان اباحت سرمایی در طبقه ۱۲۰۰ تا ۱۳۰۰ ساعت قرار دارد. در این شرایط اباحت سرمایی، تمام درختان هسته‌دار و خشک، نیاز سرمایی آن‌ها به راحتی تأمین می‌شود؛ اما برای درختان دانه‌دار بهخصوص سیب که بین ۱۰۰۰ تا ۱۵۰۰ نیاز سرمایی لازم دارند (گنجی مقدم، ۱۳۹۰: ۴۶)، شرایط برای تمام واریته‌ها مناسب به نظر نمی‌رسد و انتخاب واریته‌های بومی و زودرس و میان‌رس بهتر می‌باشد. کشت واریته‌های دیررس خارجی با نیاز بسیار بالا، مقرن به صرفه نخواهد بود. همین شرایط برای درختان دانه‌دار گلابی که بین ۱۰۰۰ تا ۱۳۰۰ (گنجی مقدم، ۱۳۹۰: ۴۲) نیاز سرمایی لازم دارند مناسب به نظر می‌رسد.

نتایج ایستگاه‌های اردبیل، ماکو، مشگین‌شهر، خوی و سراب با ساعت سرمایی بین ۱۰۰۰ تا ۱۲۰۰ ساعت، نشان می‌دهد که واقع شدن در عرض‌های جغرافیایی بالاتر نمی‌تواند دلیلی بر تأمین سرمایی موردنیاز درختان میوه با نیاز سرمایی بالا مانند سیب دیررس

جدول ۵: طبقات اباحت سرمایی در مناطق سردسیر براساس مدل ساعت سرمایی (CH)

طبقات سرمایی	ایستگاه و میزان اباحت سرمایی
کمتر از ۱۰۰۰ ساعت	(بابلسر ۷۷۵ ساعت سرمایی) (فسا ۸۷۲ ساعت سرمایی)
۱۱۰۰-۱۲۰۰	(اردبیل ۱۱۰۲) (ماکو ۱۱۱۹) (مشگین شهر ۱۱۵۹) (خوی ۱۱۵۰) (سبزوار ۱۲۷۱) (سراب ۱۰۱۳)
۱۲۰۰ - ۱۳۰۰	(اصفهان ۱۲۰۷) (ارومیه ۱۲۴۸) (اهر ۱۲۷۹) (تهران ۱۲۴۰) (سقز ۱۲۳۲) (شهرکرد ۱۲۵۲) (اراک ۱۲۹۲) (قوچان ۱۲۹۸) (کرج ۱۲۷۳) (مشهد ۱۲۹۰)
۱۳۰۰-۱۴۰۰	(تبریز ۱۳۵۲) (تبت حیدریه ۱۳۷۰) (سمنان ۱۳۱۱) (سنندج ۱۳۳۰) (قزوین ۱۳۴۲) (گلمکان ۱۳۴۰) (مهاباد ۱۳۹۴)
>۱۴۰۰	(شهرود ۱۴۴۳) (یاسوج ۱۴۴۰) (مراغه ۱۴۲۳)

مأخذ: مطالعات نگارندگان، ۱۳۹۵

کاهشی و افزایشی معنی داری مشاهده نشد.

در مدل دینامیکی در ایستگاه بابلسر روند کاهشی در میزان انباشت سرمایی با آماره $-2/6$ در سطح $0/01$ معنی دار مشاهده شد. در ایستگاه خوی با آماره $2/3$ روند افزایشی در سطح $0/05$ معنی دار می باشد. در ایستگاه شهرکرد روند کاهشی در میزان انباشت سرمایی با آماره $2/7$ در سطح $0/01$ معنی دار گردید. در ایستگاه مشگین شهر نیز روند افزایشی با آماره $3/0$ به صورت افزایشی در سطح $0/01$ معنی دار مشاهده شد. روند افزایشی براساس مدل دینامیکی بیشتر از دیگر مدل ها مشاهده می شود.

روند تغییرات انباشت سرمایی

به منظور آشکارسازی روند تغییرات انباشت سرمایی از روش ناپارامتری من-کنдал برروی سری زمانی انباشت سرمایی استفاده شده است (جدول ۶). در مدل ساعت سرمایی فقط در ایستگاه اردبیل با آماره $2/0$ روند افزایش معنی داری در سطح $0/05$ مشاهده شد. در ایستگاه های دیگر روند کاهشی یا افزایشی معنی داری مشاهده نگردید؛ اما شب منفی خط روند در بیشتر ایستگاه ها، حائز اهمیت می باشد. در مدل یوتا، در ایستگاه اردبیل روند افزایشی در سطح $0/05$ و در ایستگاه اصفهان روند کاهشی در سطح $0/01$ معنی دار مشاهده شد. در ایستگاه های دیگر روند

جدول ۶: نتایج روند تغییرات انباشت سرمایی در ایستگاه های مورد مطالعه براساس روش من-کنдал

سراب	سیزوار	خوی	تهران	تربت حیدریه	تبریز	بابلسر	اهر	اصفهان	ارومیه	اردبیل	ارتباط مدل
$0/81$	$-0/04$	۱	$-0/49$	$-0/044$	$0/18$	$-1/89$	$0/19$	$-1/79$	$0/28$	* 2	CH
$0/29$	$0/12$	$1/37$	$-0/07$	$-0/36$	$0/63$	$-1/49$	۱	$**-2/6$	$0/32$	$*2/4$	UTAH
$0/96$	$0/19$	$*2/3$	$-1/57$	$-1/25$	۱	$**-2/62$	$1/49$	$0/54$	$-0/66$	$1/59$	CP
گلمکان	کرج	قوجان	قریون	فسا	اراک	شهرکرد	شهرroud	سنندج	سمنان	سقز	
$-0/02$	$-0/31$	$-0/61$	$0/49$	-۱	$0/49$	$-1/15$	$0/63$	$-0/28$	$-0/52$	$0/28$	CH
$0/63$	۱	$-0/62$	$0/62$	$-1/97$	$0/51$	$-0/92$	$0/35$	$0/35$	$-1/20$	$0/42$	UTAH
$0/14$	$-0/54$	$0/86$	$0/09$	$0/04$	$-0/02$	$**-2/71$	$0/12$	$-0/82$	$-0/55$	$0/21$	CP
				پاسوچ	مهاباد	مشهد	مشگین شهر	مراغه	ماکو		
					$-1/27$	$0/72$	$-0/51$	$1/94$	$0/31$	$0/42$	CH
					$-0/44$	$0/65$	$-0/17$	$2/34$	$0/83$	$0/83$	UTAH
					$0/66$	$0/36$	$0/36$	$**3$	$0/83$	$0/21$	CP

* معنی داری در سطح $0/05$ ** معنی داری در سطح $0/01$

مأخذ: مطالعات نگارنده‌گان، ۱۳۹۵

اعتبارسنجی مدل های مختلف برآورده کننده انباشت سرمایی

نتایج اعتبارسنجی مدل های مختلف برآورده کننده انباشت سرمایی براساس معیارهای اعتبارسنجی MBE و RMSE در جدول ۷، مشخص شده است. در هر سه مدل انباشت سرمایی با توجه به منفی بودن میانگین انحراف خطاهای MBE، میزان انحراف از میانگین کمتر است. نتایج معیارهای اعتبارسنجی

نشان می دهد که مدل دینامیکی با توجه به MAE و RMSE، به ترتیب میانگین قدر مطلق خطاهای و ریشه میانگین مربعات خطای کوچکتر در بین مدل ها، از عملکرد بالاتری برای سنجش انباشت سرمایی در بین مدل های برآورده کننده انباشت سرمایی برخوردار می باشد؛ بنابراین مدل دینامیکی، بهترین مدل برای برآورده انباشت سرمایی محسوب می شود.

جدول ۷: نتایج اعتبارسنجی انباشت سرمایی برآورده شده با مدل‌های مختلف براساس معیارهای اعتبارسنجی

CP بهره‌های سرمایی			Utah واحدهای سرمایی			مدل ساعت سرمایی ۰ - ۷/۲۵			Mدل نیاز سرمایی
RMSE	MBE	MAE	RMSE	MBE	MAE	RMSE	MBE	MAE	ایستگاه
۰/۰۰۴۰	-۲/۲۲۳۲	۰/۰۱۲۵۲	۲/۸۴	-۰/۰۱۸۲۳	۰/۵۲۸۶	۱	-۰/۰۰۶۵	۰/۱۸۹۰	اردبیل
۰/۰۰۱۷۴	-۱/۱۱۱۰۰۵	۰/۰۰۰۳۲	۹/۷۱۳	-۰/۰۶۲۲	۱/۸۰۳۸	۹/۵۹۵	-۰/۰۶۱۴۷	۰/۱۷۸۲۵	ارومیه
۰/۰۰۲۴	-۱/۰۵۵۱۰۵	۰/۰۰۰۴۵	۰/۸۱۴	-۰/۰۰۵۲	۰/۱۵۱۳	۰/۳۲۲۳	-۰/۰۰۲۱۳	۰/۰۶۱۷۲	اصفهان
۰/۰۴۳	-۰/۰۰۰۲۸	۰/۰۰۸۱۴	۴/۶۲۴	-۰/۰۲۹۶۱۱	۰/۸۵۸۷۱۳	۱/۳۹۰	-۰/۰۰۸۹۱	۰/۲۵۸۳	اهر
۰/۰۱۱۶۱	-۷/۴۳۹	۰/۰۰۲۱	۲	-۰/۰۱۲۸	۰/۳۷۲۲	۵/۱۰	-۰/۰۳۲۷۳	۰/۹۴۸۸۷	باپلسر
۰/۰۲۱	-۰/۰۰۰۱۳	۰/۰۰۳۹	۱/۱۱	-۰/۰۰۷۱۳	۰/۲۰۶۷۳	۰/۵۸	-۰/۰۰۳۷۷	۰/۱۰۹۲	تریز
۰/۰۰۴۰	-۲/۲۶۰۲۰۵	۰/۰۰۰۷۵	۲/۸۴	-۰/۰۱۸۲۳	۰/۵۲۸۶۲	۱	-۰/۰۰۶۵۲	۰/۱۸۹۰۹	تریت‌حیدریه
۰/۰۰۵۷۶	-۳/۶۸۹۰۵	۰/۰۰۱۰۷	۲/۸۱	-۰/۰۱۸۰۲	۰/۵۲۲۴۵	۱	-۰/۰۰۶۴۷	۰/۱۸۷۵	تهران
۰/۰۰۵۸۸	-۰/۷۶۹۰۵	۰/۰۰۱۰۹	۲/۹۲	-۰/۰۱۸۷۶	۰/۵۴۴۰۱	۰/۷۷۹۶۹	-۰/۰۰۵۰۶	۰/۱۴۶۶۹	خوی
۰/۰۰۵۳	-۰/۳۹۹۰۵	۰/۰۰۰۹۹	۳۸/۸۱۸	-۰/۲۴۲۱۶	۰/۰۲۲۷۲	۰/۹۹۹	-۰/۰۰۶۴۹	۰/۱۸۵۵۹	سیزوار
۰/۵۴۶	-۰/۰۰۰۳۵	۰/۰۱۰۱۵	۵/۱۰	-۰/۰۳۲۵۲	۰/۹۴۴۰۶	۱/۹۲	-۰/۰۱۲۳	۰/۳۵۶۷۲	سراب
۰/۰۰۱۰۶	-۶/۷۶۷۰۰۶	۰/۰۰۰۲	۱/۹۰	-۰/۰۱۲۲	۰/۳۵۳۷۱	۱/۴۹	-۰/۰۰۹۷۵	۰/۲۷۶۸۲	سقز
۰/۰۰۲۰	-۰/۱۲۸۰۵	۰/۰۰۰۳۹	۲/۱۴	-۰/۰۱۳۷	۰/۳۹۷۴۲	۰/۷۵۳۸	-۰/۰۰۴۸۳	۰/۱۳۹۹۹	سمنان
۰/۰۰۱۰	-۶/۴۲۸۰۶	۰/۰۰۰۱۹	۰/۵۲	-۰/۰۰۳۳۷	۰/۰۹۷۷۱	۰/۱۴	-۰/۰۰۰۹۳	۰/۰۲۷۰۶	سنندج
۰/۰۰۰۴	-۳/۱۴۷۰۶	۹/۱۰۰۵۵	۲/۰۴	-۰/۰۱۳۱	۰/۳۷۹۸۱	۰/۶۲۳	-۰/۰۰۳۹۳	۰/۱۱۵۷۸	شهرود
۰/۰۰۴	-۲/۷۲۸۰۲	۰/۰۰۰۷۹	۰/۶۷	-۰/۰۰۴۳۱	۰/۱۲۵۰۷	۰/۱۸۶	-۰/۰۰۱۱۹	۰/۰۳۴۶	شهرکرد
۰/۰۰۲۱	-۱/۱۳۴۰۵	۰/۰۰۰۴	۰/۵۵	-۰/۰۰۳۵۸	۰/۱۰۳۹	۰/۴۱	-۰/۰۰۲۶۸	۰/۰۷۷۶۱	اراک
۰/۰۱۹	-۰/۰۰۰۱۲	۰/۰۰۰۳۶	۳/۱۶۶	-۰/۰۲۰۲۷	۰/۵۸۷۹۶	۰/۱۶۷	-۰/۰۰۱۰۷	۰/۰۳۱۱۷	فسا
۰/۰۰۲	-۱/۳۲۱۰۵	۰/۰۰۰۳۸	۰/۵۱	-۰/۰۰۳۲۸	۰/۰۹۵۱۳	۰/۴۳۹	-۰/۰۰۲۸۱	۰/۰۸۱۶۲	قروین
۰/۰۰۲۵	-۱/۶۰۵	۰/۰۰۰۴۸	۱۶۸/۴	۱/۰۷	۳۱/۲۱۶۷	۰/۳۰۴	-۰/۰۱۹۵	۰/۰۵۶۴۹	قوچان
۰/۰۰۴	-۲/۲۷۰۰۵	۰/۰۰۰۷۵	۰/۴۶۸	-۰/۰۰۳	۰/۰۸۶۹۹	۰/۳۸۷	-۰/۰۰۲۴۸	۰/۰۷۲۰۲	کرج
۰/۰۰۶	-۴/۴۴۴۰۵	۰/۰۰۱۳۳	۳۰/۹۸/۵	۱۹/۸۴۱	۵۷۵۳۹۰	۰/۳۳۱	-۰/۰۰۲۱۲	۰/۰۶۱۶۱	گلستان
۰/۰۰۶	-۴/۴۷۳۰۵	۰/۰۰۱۳	۱۲/۰۶	-۰/۰۷۷۲۶	۲/۲۴۰۵۳	۵/۳۵۳	-۰/۰۳۴۲۸	۰/۹۹۴۱۶	ماکو
۰/۰۰۲۹	-۱/۸۷۰۴۰۵	۰/۰۰۰۵۴	۱/۳۸	-۰/۰۰۸۸۵	۰/۲۵۶۶۴	۰/۸۱۲	-۰/۰۰۵۲۱	۰/۱۵۰۹۶	مراغه
۰/۰۰۱	-۱/۱۷۶۰۵	۰/۰۰۰۳۶	۷	-۰/۰۴۵۵۱۸	۱/۳۱۰۱۷	۲/۲۹	-۰/۰۱۴۷۳	۰/۲۲۷۰۵	مشگین شهر
۰/۰۰۱	-۹/۴۲۷۰۶	۰/۰۰۰۲۷	۱/۰۲	-۰/۰۰۶۵۶	۰/۱۹۰۱۳	۰/۲۵	-۰/۰۰۱۶۱	۰/۰۴۶۵۵	مشهد
۰/۰۰۰۵	-۳/۷۶۲۰۶	۰/۰۰۰۱۱	۰/۷۸	-۰/۰۰۵۰۳	۰/۱۴۵۷۴	۰/۶۲۷	-۰/۰۰۴۰۲	۰/۱۱۶۵۷	مهاباد
۰/۰۰۴	-۳/۰۱۷۰۶	۸/۷۰۰۵	۰/۱۴	-۰/۰۰۰۹	۰/۰۲۶۲۴	۰/۱۱	-۰/۰۰۰۷۲	۰/۰۲۰۷۹	یاسوج

مأخذ: مطالعات نگارنده‌گان، ۱۳۹۵

مطالعه برای برآورد انباشت سرمایی نشان داد که

براساس مدل ساعت سرمایی (CH) انباشت سرمایی (CH) انباشت سرمایی (Utah) از ۷۷۵ تا ۱۴۴۵ ساعت، براساس مدل یوتا (Utah) انباشت سرمایی از ۱۱۹۱ تا ۲۱۲۱ واحد سرمایی و براساس مدل دینامیکی (CP) میزان انباشت سرمایی از ۹۶ تا ۶۳ سهم یا بخش سرمایی درمناطق سردسیر و معتدله ایران متغیر است. مناطق با ارتفاع کمتر به دلیل زمستان ملائم و مناطق با عرض جغرافیایی

نتیجه

مطالعه حاضر با هدف واکاوی الگوی انباشت سرمایی زمستانه مناطق سردسیر ایران بهمنظور برآورد ارزیابی روند تغییرات و اسننجی مدل‌های برآورده‌گننده، با استفاده از آمار طولانی مدت دمای هوای ساعتی از سال ۱۹۸۵ تا ۲۰۱۳ از طریق ایستگاه‌های هواشناسی همدید انجام شد. واکاوی دمای ساعتی طولانی مدت ایستگاه‌های همدید مورد

جهانی از طریق زمستان‌های ملایم در دهه‌های اخیر رخ داده باشد. نتایج معیارهای اعتبارسنجی مدل‌های برآورده کننده انباشت سرمایی نشان داد که مدل دینامیکی با میزان خطای کمتر در پیش‌بینی انباشت سرمایی از عملکرد بالاتری نسبت به دیگر مدل‌ها برخوردار است.

نتایج تحقیق حاضر در ارائه الگوی جامع و اولیه از انباشت سرمایی در مناطق سردسیر و معتدله کشور، درجهت اتخاذ ارقام سازگار متناسب با توان اقلیمی و الگوی انباشت سرمایی هر منطقه حائز اهمیت است. شبکه کاهشی در سری انباشت سرمایی در پیوند با گرمایش جهانی، در ارائه زنگ خطری برای درنظر گرفتن ملاحظات اقلیمی درجهت انتخاب و کشت ارقام سازگار با توان اقلیمی هر منطقه حائز اهمیت است. با توجه به نتایج بدست آمده به منظور تکمیل مطالعات، انجام مطالعات میدانی و مزرعه‌ای بروزی واریته‌های مختلف در کنار آمار طولانی‌مدت دمای ساعتی هوا پیشنهاد می‌شود.

نتایج مطالعه حاضر از جنبه کاهش انباشت سرمایی در دهه‌های اخیر همسو با نتایج مطالعات سبزی‌پرور و ولاشده (۱۳۹۴) است. همچنین با نتایج ولاشده و سبزی‌پرور (۱۳۹۵) مبنی بر توانمندی و عملکرد بالای مدل دینامیکی برای برآورده و انباشت سرمایی همخوانی دارد. همسو با مطالعات لودلینگ و براون (۲۰۱۱) در واکاوی سه مدل پرکاربرد بر مبنای دمای ساعتی برای انباشت سرمایی درختان میوه نشان داد که مدل‌های برآورده کننده، رهیافت متفاوتی از الگوی انباشت سرمایی نشان می‌دهند. نتایج واسنجی مدل‌های انباشت سرمایی همسو با مطالعات لودلینگ و همکاران (۲۰۰۹) درباره عملکرد بالای مدل دینامیکی برای برآورده انباشت سرمایی همخوانی دارد. همسو با مطالعه داربیشر و همکاران (۲۰۱۱) تغییرات مدل ساعتی سرمایی نسبت به دیگر مدل‌های تعیین انباشت سرمایی بیشتر است.

بالاتر به دلیل سرماهای شدید، از انباشت سرمایی کمتری برخوردار می‌باشند. عامل ارتفاع از سطح دریا در برآورده انباشت سرمایی در هر کدام از مدل‌ها، نقش مهمی ایفا می‌کند. از نظر تغییرات زمانی بر طبق سری زمانی بلندمدت، فرآونی رخداد بیشینه‌های انباشت سرمایی در دهه‌های گذشته بیشتر از دهه‌های اخیر بوده است. در واقع فصل سرد در گذشته نسبت به دهه‌های حال حاضر از توان تأمین کنندگی سرمایی بیشتری برخوردار بوده است. طبقه‌بندی انباشت سرمایی براساس مدل ساعات سرمایی (CH) نشان داد که بیشتر ایستگاه‌های منطقه سردسیر از نظر انباشت سرمایی در طبقه ۱۲۰۰ تا ۱۳۰۰ ساعت قرار دارند. این طبقه انباشت سرمایی برای درختان خزان‌دار هسته‌دار و آجیلی مناسب است؛ اما برای واریته‌های دیررس درختان خزان‌دار دانه‌دار مانند شبکه ناکافی است. مناطقی که از توان تأمین بیش از ۱۴۰۰ ساعت انباشت سرمایی برخوردار بوده‌اند، همواره از ارتفاع بالای نیز برخوردار بوده‌اند که این شرایط در این نوشتار برای ایستگاه‌های شاهروند، یاسوج و مراغه آشکار شد. خیلی از ایستگاه‌ها در عرض‌های خیلی بالا به دلیل شدت سرما، توان تأمین سرمای لازم درختان میوؤه دانه‌دار مانند ارقام دیررس شبکه نیاز سرمایی بالا را ندارند؛ بنابراین با توجه به الگوی انباشت سرمایی، بایستی در کشت و انتخاب ارقام دیررس تجاری که نیاز سرمایی بالای نیاز دارند، در مناطق سردسیر کشور، جانب احتیاط را رعایت کرد.

رونده تغییرات انباشت سرمایی براساس آزمون ناپارامتری من-کنداش نشان داد که در بین ایستگاه‌های مورد مطالعه، در ایستگاه‌های اصفهان و شهرکرد روند تغییرات کاهشی معنی‌دار در سطح ۰/۰۵ معنی‌داری مشاهده شد. هرچند در بیشتر ایستگاه‌ها روند معنی‌داری مشاهده نشد، اما شبکه منفی خط روند در بیشتر ایستگاه‌ها حائز اهمیت است. این شرایط می‌تواند در پیوند با اثرات گرمایش

- غریبی، خسرو (۱۳۹۵). مدیریت ریسک و بیمه باطنی، انتشارات پژوهشکده بیمه. چاپ اول. تهران.
- گنجی مقدم، ابراهیم (۱۳۹۰). میوه‌کاری در مناطق معتدل، انتشارات آموزش و ترویج کشاورزی. چاپ اول. تهران.
- منیعی، عباسعلی (۱۳۶۹). مبانی علمی پژوهش درختان میوه، انتشارات فنی ایران. چاپ اول. تهران.
- هوشیار، زهره؛ ابراهیم گنجی مقدم؛ بهرام عابدی (۱۳۹۵). تعیین نیاز سرمایی و گرمایی چهار رقم زردآلو در استان خراسان، نشریه علوم باطنی (علوم و صنایع کشاورزی). شماره ۳. صفحات ۴۳۱-۴۳۸.
- ولاشیدی، رضا نوروز (۱۳۹۴). ارزیابی اثر گرمایش جهانی بر نیاز سرمایی زمستانه گیاهان خزان دار در گستره ایران، رساله دکتری. دانشکده علوم کشاورزی. گروه هواشناسی کشاورزی. دانشگاه بوعلی سینا.
- ولاشیدی، رضا نوروز؛ علی‌اکبر سبزی‌پرور (۱۳۹۵). ارزیابی الگوهای برآورد نیاز سرمایی زمستانه با استفاده از داده‌های مشاهده‌ای پدیده‌شناسنخته درخت سیب در ارومیه، علوم باطنی ایران. شماره ۳. صفحات ۵۷۰-۵۶۱.
- Aburquerque, N. Garcia –Montiel, F. Carrillo, A. Burgos, L (2008). Chilling and heat requirements of sweet cultivars and the relationship between altitude and the probability of satisfying the chill requirements, Environmental and Experimental Botany 64: 162-170.
- Allan, P (2004). Winter chilling in areas with mild winters: its measurement and supplementation. Acta Hortic, 662: 47-52.
- Anderson, J. L., Richardson, E.A., Kesner, C.D (1986). Validation of chill unit and flower bud phenology models for "Montmorency" sour cherry. Acta Hortic. 184:71-78.
- Aron,R(1983).Availability of chilling temperatures in California.Agricultural Meteorology28:351-363.
- Baldocchi, D. Wong, S (2008). Accumulated winter chill is decreasing in the fruit growing regions of California,Climatic Change(87):153-166.

منابع

- آمارنامه محصولات بااغی کشور (۱۳۹۳). وزارت جهاد کشاورزی، معاونت برنامه‌ریزی و اقتصادی. مرکز فناوری اطلاعات و ارتباطات.
- سبزی‌پرور، نوروز علی‌اکبر؛ رضا ولاشیدی (۱۳۹۴). اثر تغییر اقلیم بر روند تأمین نیاز سرمایی گیاهان خزان دار (مطالعه موردی: استان همدان)، نشریه علوم باطنی (علوم و صنایع کشاورزی). شماره ۳. صفحات ۳۶۷-۳۵۸.
- سبزی‌پرور، علی‌اکبر؛ میثم شادمانی (۱۳۹۰). تحلیل روند تبخیر و تعرق مرجع با استفاده از آزمون من-کندال و اسپیرمن در مناطق خشک ایران، نشریه آب و خاک (علوم و صنایع کشاورزی). جلد ۲۵. شماره ۸۲۳-۸۳۴.
- رضایی، مهدی (۱۳۹۱). برآورد نیازهای دمایی شش رقم تجاری زردآلوی منطقه شاهرود در شرایط آزمایشگاهی و مزرعه‌ای، مجله بهزایی کشاورزی. شماره ۱. صفحات ۳۲-۳۱.
- راحمی، مجید (۱۳۸۹). درختان میوه معتدل در اقلیم‌های گرم، انتشارات جهاد دانشگاهی مشهد. چاپ اول. مشهد.
- رضوی، فرهنگ؛ جعفر حاجی‌لو؛ سید جلال طباطبایی (۱۳۹۱). تعیین نیاز سرمایی و گرمایی جوانه‌های گل در چند رقم هلو (*Prunus persica L*), نشریه علوم باطنی (علوم و صنایع کشاورزی). شماره ۱. صفحات ۲۴-۱۷.
- رسول‌زادگان، یوسف (۱۳۷۰). میوه‌کاری در مناطق معتدل، نوشتۀ ام‌ان، وست‌وود. چاپ اول. انتشارات دانشگاه صنعتی اصفهان. اصفهان.
- حاجی‌لو، جعفر؛ سحر توپچی‌تبریزیان (۱۳۹۵). تعیین نیاز سرمایی و گرمایی جوانه گل چند رقم زردآلو، نشریه تولیدات گیاهی. شماره ۱. صفحات ۱۰۲-۸۹.

- Luedeling E, Brown, PH (2011). A global analysis of the comparability of winter chill models for fruit and nut trees. *Int J Biometeorol* 55 (3):411-421.
- Luedeling, E. Zhang, M. Mcgranahan, G.Leslie, C (2009). Validation of winter chill models walnut phenology Agricultural and Forest Meteorology, 149: 1854-1864.
- Luedeling, E., Zhang, M., Luedeling, V., Girvetz, E.H (2009). Sensitivity of winter chill models for fruit and nut trees to climatic changes expected in California's Central Valley. *Agric. Ecosyst. Environ.* 133, 23-31.
- Mann, H. B (1945). Nonparametric tests against trend. *Econometrica. Journal of the Econometric Society* 13(3): 245-259.
- Richardson EA, Seeley SD, Walker, DR (1974). A model for estimating the completion of rest for Redhaven and Elberta peach trees. *Hortscience* 9(4):331-332.
- Ruiz, D. Campoy, J.A. Egea, J (2007). Chilling and heat requirements of apricot cultivars for flowering, *Environmental and Experiment Botany* 61: 254-263.
- Santos, J. A., Costa, R., & Fraga, H (2016). Climate change impacts on thermal growing conditions of main fruit species in Portugal. *Climatic Change*,139: 1-14.
- Severino, V., Gravina, A., Manzi, M., Arias, M (2007). Models for Quantifying Effective Winter Chill on Apple Endodormancy. In VIII International Symposium on Temperate Zone Fruits in the Tropics and Subtropics, 872: 113-120.
- Weinberger, J. H (1950). Chilling requirements of peach varieties. In Proceedings. American Society for Horticultural Science, 56: 122-128.
- Zhang, J. Taylor, C (2011). The dynamic model provides the best description of the chill process on Sira, pistachio tress in Australia. *HortScience* 46 (3): 420-425.
- Zhuang, W., Cai, B., Gao, Z., Zhang, Z (2016). Determination of chilling and heat requirements of 69 Japanese apricot cultivars. *European Journal of Agronomy*, 74, 68-74.
- Bennett, J. P (1949). Temperature and bud rest period. *California Agriculture* 3 (11) 9.
- Cesaraccio, C., Spano, D., Snyder, R. L., Duce, P (2004). Chilling and forcing model to predict bud-burst of crop and forest species. *Agricultural and Forest Meteorology*, 126(1), 1-13. completion in peach buds.*Acta Hort.* 276:165-174.
- Costa, G., & Ramina, A (2014). Temperate Fruit Species. In *Horticulture: Plants for People and Places, Volume 1:* 97-121). Springer Netherlands.
- Darbyshire, R. Webb, L. Goodwin, I. Barlow, S (2011). Winter chilling trends for deciduous fruit trees in Australia, *Agricultural and forest meteorology*, 151:1074-1085.
- Elloumi, O., Ghrab, M., Kessentini, H., & Mimoun, M. B (2013). Chilling accumulation effects on performance of pistachio trees cv. Mateur in dry and warm area climate. *Scientia Horticulturae*, 159, 80-87.
- Fishman, S, Erez, A. Couvillon, GA (1987). The temperature-dependence of dormancy breaking in plants - computer-simulation of processes studied under controlled temperatures. *J Theor Biol* 126(3): 309-321.
- Guo, L., Dai, J., Ranjikar, S., Yu, H., Xu, J., Luedeling, E (2014). Chilling and heat requirements for flowering in temperate fruit trees. *International journal of biometeorology*, 58(6), 1195-1206.
- Hennessy K. J., Clayton- Greene K (1995). Greenhouse warming and vernalisation of high-chill fruit in southern Australia. *Climatic Change*, 30: 327-348.
- Kaufmann, H., Blanke, M (2016). Performance of three numerical models to assess winter chill for fruit trees- a case study using cherry as model crop in Germany. *Regional Environmental Change*,16:1-9.
- Kendall, M (1975). Multivariate analysis.Charles Griffin Book, London. 218 p.
- Janick, J (2003). Wild apple and fruit trees of central Asia, Vol. 29. Published by Johon Wiley & Sons, Inc., Hoboken, New Jersey. P, 417.